

本資料のうち、枠囲みの内容は
営業秘密又は防護上の観点から
公開できません。

東海第二発電所 工事計画審査資料	
資料番号	工認-1092 改0
提出年月日	平成30年9月20日

V-2-2-22-4 常設代替高圧電源装置用カルバート（立坑部）の
地震応答計算書

目次

1. 概要	1
2. 基本方針	2
2.1 位置	2
2.2 構造概要	3
2.3 解析方針	5
2.4 適用基準	7
3. 解析方法	8
3.1 評価対象断面	8
3.2 解析方法	10
3.3 荷重及び荷重の組合せ	12
3.4 入力地震動	13
3.5 解析モデル及び諸元	46
4. 解析結果	49
4.1 南北方向断面の解析結果	49
4.2 東西方向断面の解析結果	62

1. 概要

本資料は、添付資料「V-2-1-6 地震応答解析の基本方針」に基づき実施する常設代替高圧電源装置用カルバート（立坑部）（以下、「立坑」という。）の地震応答解析について説明するものである。

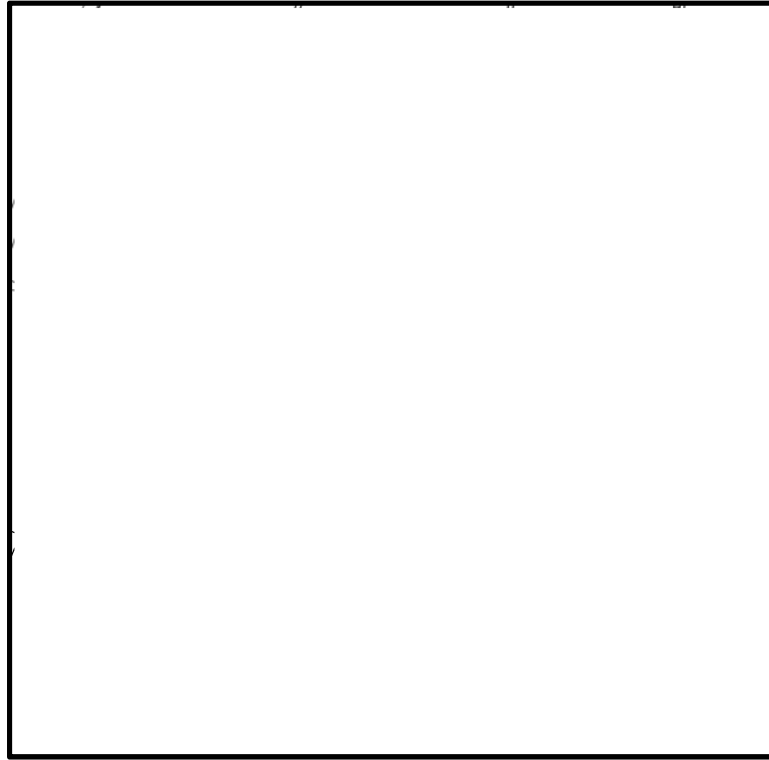
本地震応答解析は、機器・配管系が耐震性に関する技術基準へ適合することを確認するために用いる応答値を抽出するものである。

また、立坑が耐震性に関する技術基準へ適合することを確認するために用いる応答値の抽出を行う。その際、耐震設計に用いる応答値はこの地震応答解析による断面力及び基礎地盤に生じる接地圧とする。

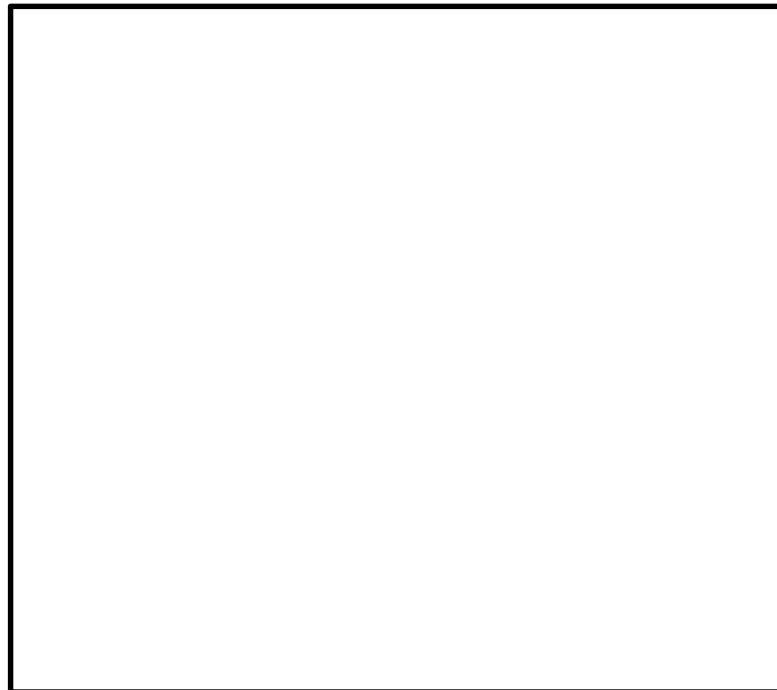
2. 基本方針

2.1 位置

立坑の平面配置図を第2-1図に示す。



第2-1図(1) 立坑の平面配置図(全体平面図)

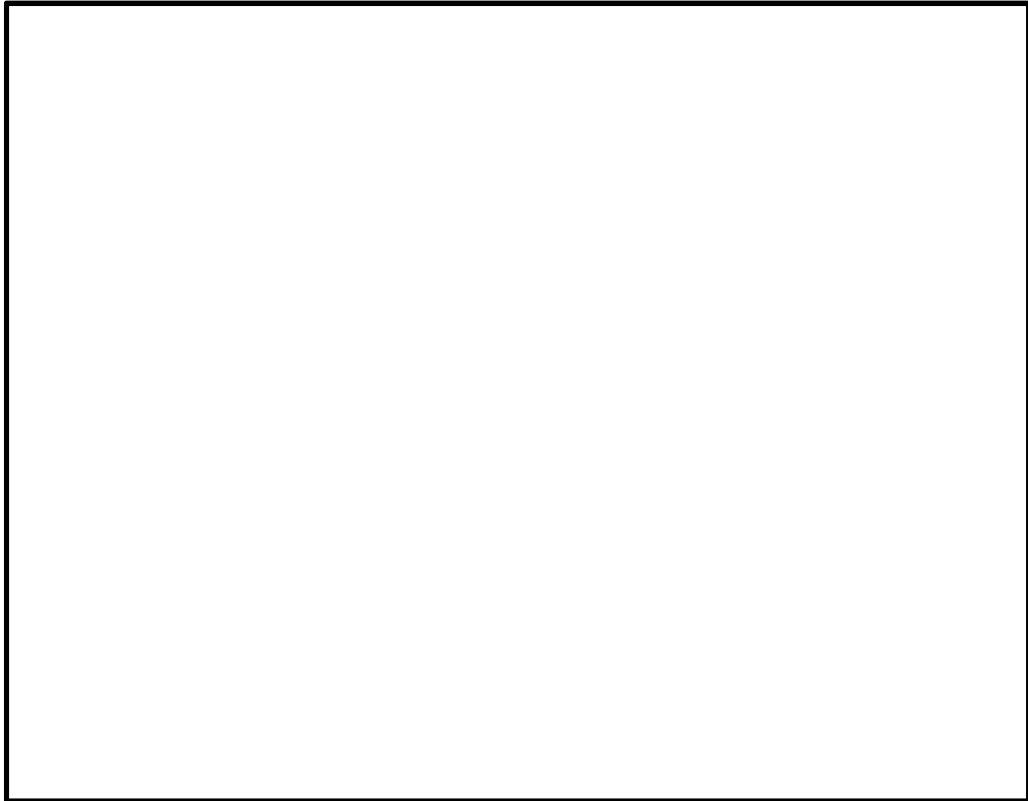


第2-1図(2) 立坑の平面配置図(拡大図)

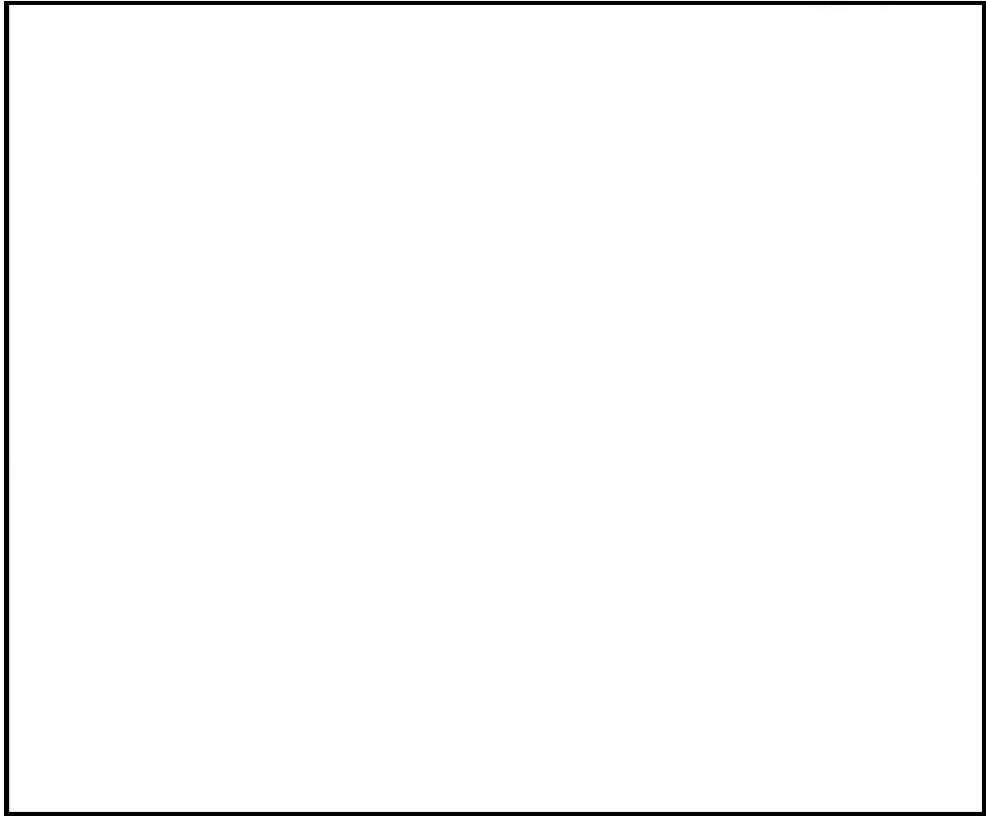
2.2 構造概要

立坑は、電気ケーブル、軽油移送配管及び水配管を支持する4層2連カルバート状の鉄筋コンクリート構造物であり、南北方向約12.5 m、東西方向約16.5 m、高さ約39 mである。構造物は十分な支持性能を有する岩盤に直接設置する。

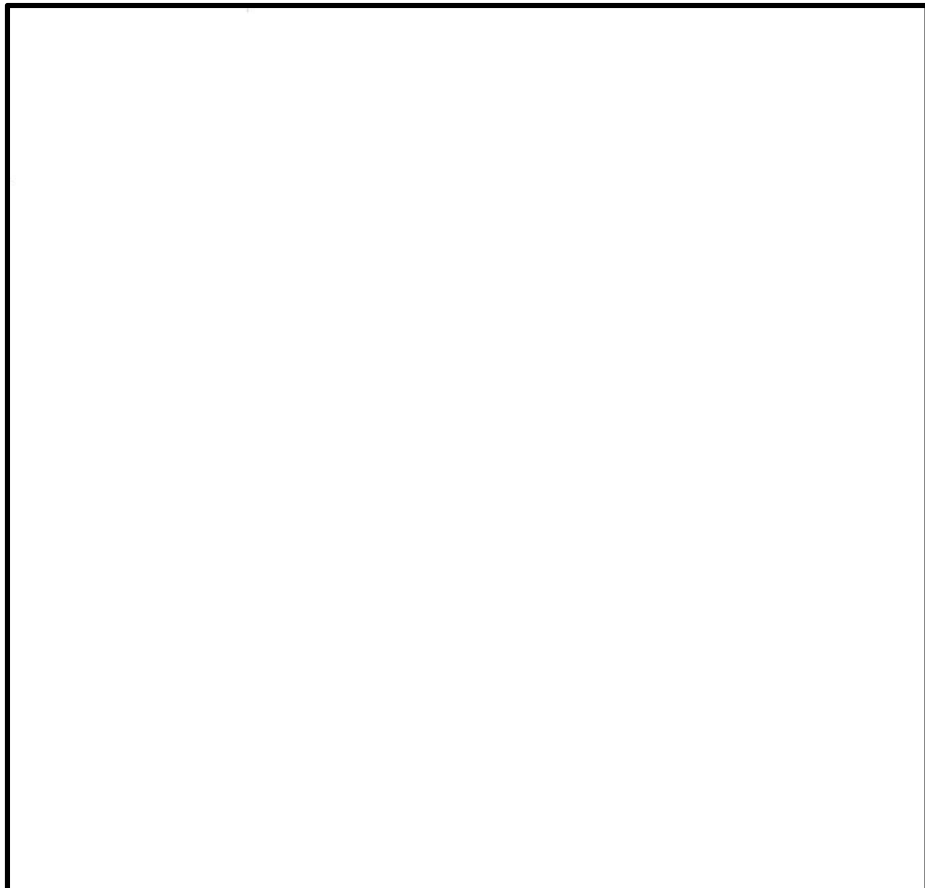
立坑の平面図を第2-2図、断面図（南北方向）を第2-3図、断面図（東西方向）を第2-4図に示す。



第2-2図 立坑の平面図



第2-3図 立坑の断面図（南北方向 ①-①断面）



第2-4図 立坑の断面図（東西方向 ②-②断面）

2.3 解析方針

立坑は、添付書類「V-2-1-6 地震応答解析の基本方針」に基づき、基準地震動 S_0 に対して解析を実施する。

地震応答解析においては、地震時の地盤の有効応力の変化に応じた影響を考慮できる有効応力解析を実施する。

有効応力解析に用いる液状化強度特性は、敷地の原地盤における代表性及び網羅性を踏まえた上で保守性を考慮して設定する。

構造物への地盤変位に対する保守的な配慮として、地盤を強制的に液状化させることを仮定した影響を考慮する。その際は、原地盤よりも十分に小さい液状化強度特性（敷地に存在しない豊浦標準砂に基づく液状化強度特性）を仮定する。

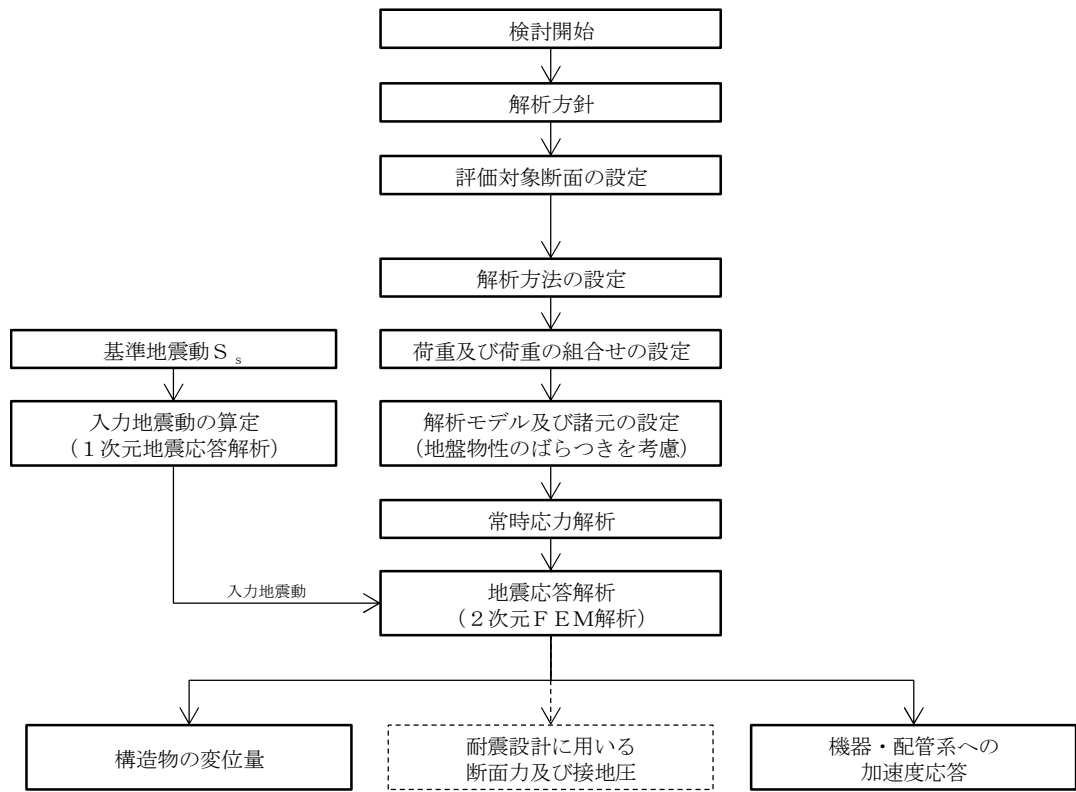
構造物及び機器・配管系への加速度応答に対する保守的な配慮として、地盤の非液状化の影響を考慮する。その際は、原地盤において非液状化の条件を仮定した解析を実施する。

第2-5図に立坑の地震応答解析フローを示す。

地震応答計算は、「2. 基本方針」に基づき、「3.1 評価対象断面」にて設定する断面において、「3.2 解析方法」に示す水平地震動と鉛直地震動の同時加振による時刻歴非線形解析にて行う。

時刻歴非線形解析は、「3.3 荷重及び荷重の組合せ」及び「3.5 解析モデル及び諸元」に示す条件を基に、「3.4 入力地震動」により設定する入力地震動を用いて実施する。

地震応答解析による加速度応答は、機器・配管系の設計用床応答曲線の作成に用い、断面力及び接地圧は、立坑の耐震評価に用いる。



<地震応答計算>

第2-5図 立坑の地震応答解析フロー

2.4 適用基準

適用する規格，基準等を以下に示す。

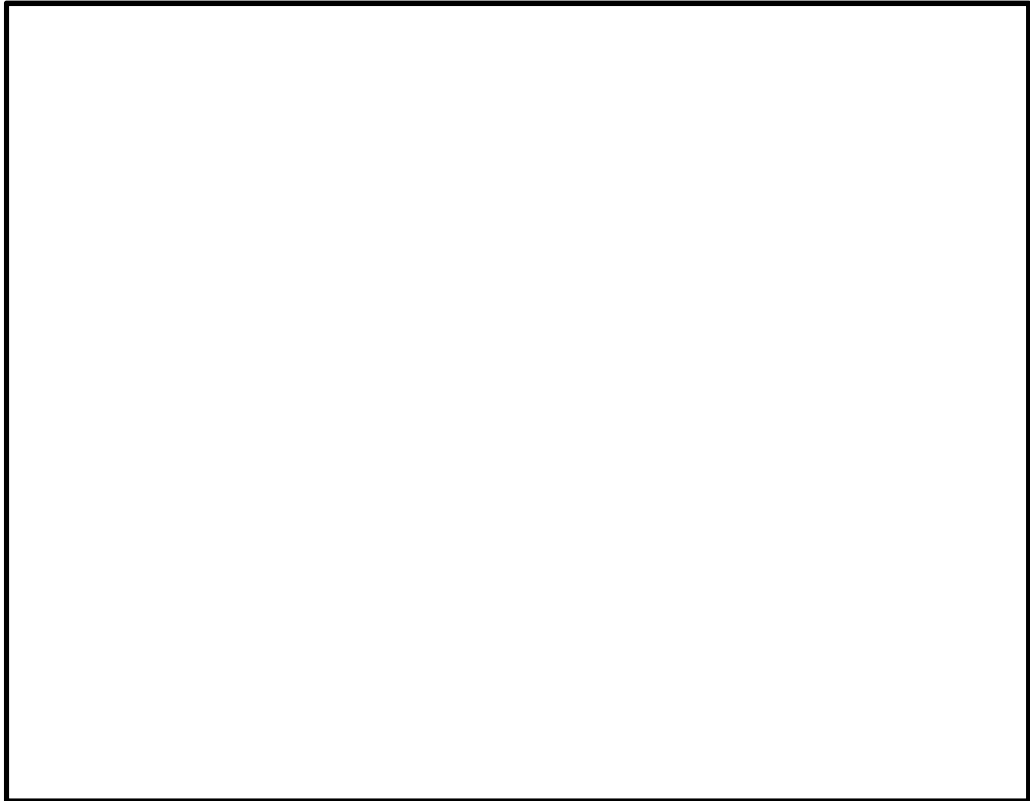
- コンクリート標準示方書 [構造性能照査編] ((社) 土木学会, 2002年制定)
- 原子力発電所耐震設計技術指針 J E A G 4 6 0 1 -1987 ((社) 日本電気協会)
- 道路橋示方書 (I 共通編・IV下部構造編) ・同解説 ((社) 日本道路協会, 平成24年3月)

3. 解析方法

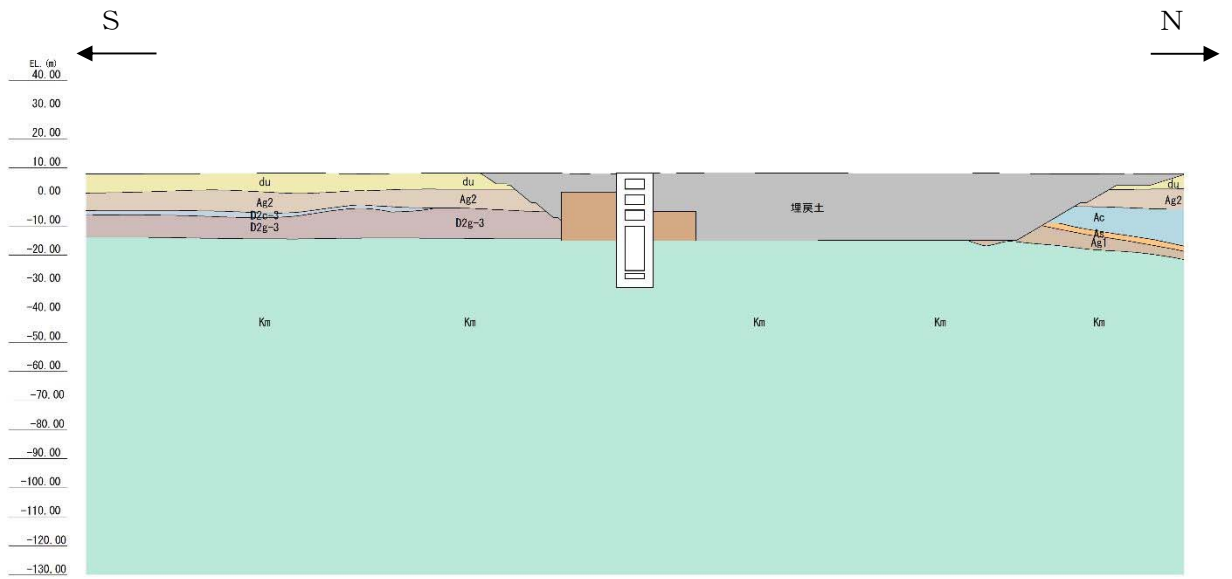
3.1 評価対象断面

立坑の評価対象断面位置を第3-1図に示す。構造物の耐震設計における評価対象断面は立坑南北方向及び東西方向の2方向とする。

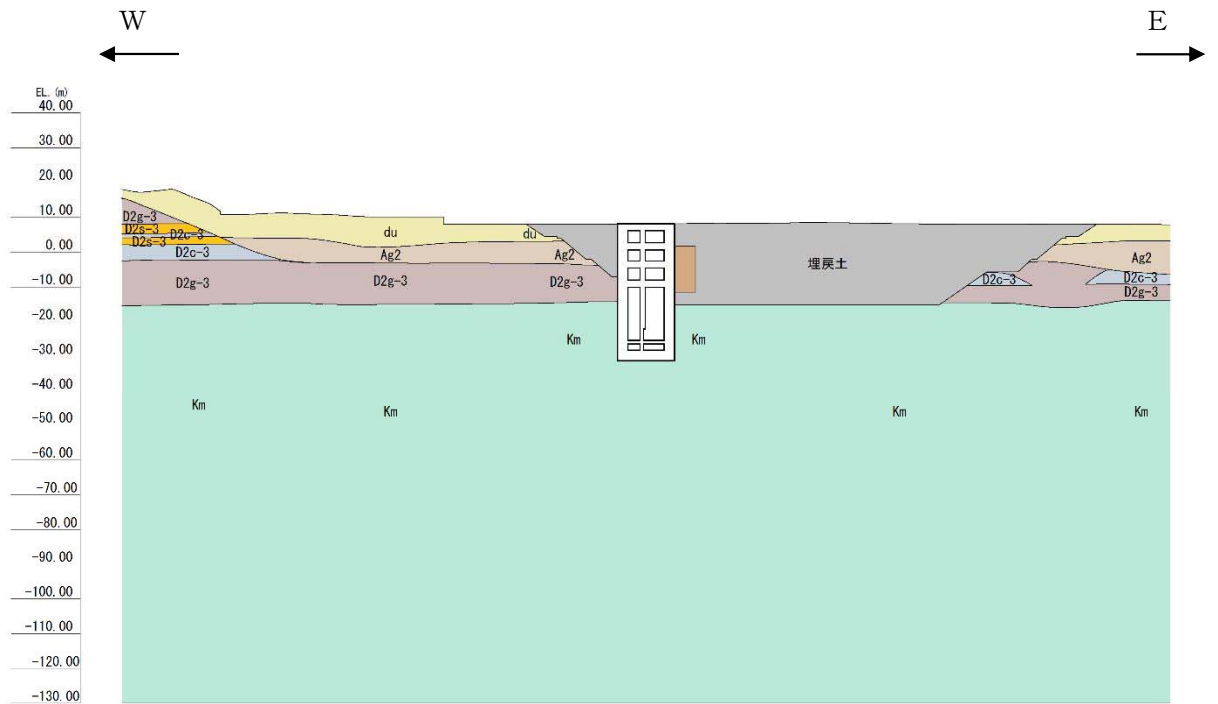
評価対象断面を第3-2図に示す。



第3-1図 立坑の評価対象断面位置図



第3-2図(1) 立坑の評価対象断面図(南北方向断面)



第3-2図(2) 立坑の評価対象断面図(東西方向断面)

3.2 解析方法

地震応答解析は、添付資料「V-2-1-6 地震応答解析の基本方針」のうち、「2.3 屋外重要土木構造物」に示す解析方法及び解析モデルを踏まえて実施する。

地震応答解析は、地盤と構造物の相互作用を考慮できる2次元有限要素法を用いて、基準地震動 S_s に基づき設定した水平地震動と鉛直地震動の同時加振による逐次時間積分の時刻歴応答解析にて行う。構造部材については、線形はり要素を用いる。また、地盤については、有効応力の変化に応じた地震時挙動を適切に考慮できるようにモデル化する。地震応答解析については、解析コード「FLIP Ver. 7.3.0_2」を使用する。なお、解析コードの検証及び妥当性確認等の概要については、添付資料「V-5-10 計算機プログラム（解析コード）の概要・FLIP」に示す。

3.2.1 構造部材

構造部材は、線形はり要素によりモデル化する。

3.2.2 地盤

有効応力解析では、地盤の液状化強度特性のばらつきの観点で、地盤を強制的に液状化させることを仮定した解析ケース及び地盤の非液状化の影響を考慮した解析ケースを実施することに加え、地盤剛性のばらつきの観点で、地盤のせん断波速度のばらつきを考慮した解析ケースを実施することにより、地盤物性のばらつきによる影響を考慮する。

耐震評価における有効応力解析では、地盤の繰返しせん断応力～せん断ひずみ関係の骨格曲線の構成則として、地盤の繰返しせん断応力～せん断ひずみ関係の骨格曲線に関するせん断ひずみ及び有効応力の変化に応じたこれら2つの特徴を表現できる双曲線モデル（H-Dモデル）を用いる。

3.2.3 減衰定数

固有値解析により求められる固有振動数及び初期減衰定数に基づく要素剛性比例型減衰を考慮する。

3.2.1 地震応答解析の解析ケース

(1) 耐震評価における解析ケース

耐震評価における解析ケースを第3-1表に示す。

耐震評価においては、全ての基準地震動 S_s に対し基本として実施する①の解析ケースにおいて、各照査値が最も厳しい地震動を用い②～⑥の解析ケースを実施する。

第3-1表 耐震評価における解析ケース

解析ケース	①	②	③	④	⑤	⑥
	原地盤に基づく液化化強度特性を用いた解析ケース(基本ケース)	地盤物性のばらつきを考慮(+1 σ)した解析ケース	地盤物性のばらつきを考慮(-1 σ)した解析ケース	地盤を強制的に液化化させることを仮定した解析ケース	原地盤において非液化化の条件を仮定した解析ケース	地盤物性のばらつきを考慮(+1 σ)して非液化化の条件を仮定した解析ケース
液化化強度特性の設定	原地盤に基づく液化化強度特性(標準偏差を考慮)	原地盤に基づく液化化強度特性(標準偏差を考慮)	原地盤に基づく液化化強度特性(標準偏差を考慮)	敷地に存在しない豊浦標準砂の液化化強度特性	液化化パラメータを非適用	液化化パラメータを非適用

構造物間の相対変位の算定を行う場合は、上記の実施ケースにおいて変位量が厳しいケースで行う。

(2) 機器・配管系に対する加速度応答抽出のための解析ケース

機器・配管系に対する加速度応答の抽出における解析ケースを第3-2表に示す。

全ての基準地震動 S_s に対し基本として実施する⑤の解析ケースにおいて、上載される機器・配管系の固有振動数帯で加速度応答が最も大きくなる地震動を用い④及び⑥の解析ケースを実施する。

第3-2表 機器・配管系に対する加速度応答の抽出のための解析ケース

解析ケース	④	⑤	⑥
	地盤を強制的に液化化させることを仮定した解析ケース	原地盤において非液化化の条件を仮定した解析ケース	地盤物性のばらつきを考慮(+1 σ)して非液化化の条件を仮定した解析ケース
液化化強度特性の設定	敷地に存在しない豊浦標準砂に基づく液化化強度特性	液化化パラメータを非適用	液化化パラメータを非適用

3.3 荷重及び荷重の組合せ

荷重及び荷重の組合せは、添付資料「V-2-1-9 機能維持の基本方針」に基づき設定する。

3.3.1 耐震評価上考慮する状態

立坑の地震応答解析において、地震以外に考慮する状態を以下に示す。

(1) 運転時の状態

発電用原子炉施設が運転状態にあり、通常の条件下におかれている状態。ただし、運転時の異常な過渡変化時の影響を受けないことから考慮しない。

(2) 設計基準事故時の状態

設計基準事故時の影響を受けないことから考慮しない。

(3) 設計用自然条件

積雪を考慮する。埋設構造物であるため、風荷重は考慮しない。

(4) 重大事故等時の状態

重大事故等時の状態の影響を受けないことから考慮しない。

3.3.2 荷重

立坑の地震応答解析において、考慮する荷重を以下に示す。

(1) 固定荷重 (G)

固定荷重として、躯体自重を考慮する。

(2) 積載荷重 (P)

積載荷重として機器・配管荷重、土圧及び水圧による荷重を考慮する。

(3) 地震荷重 (K_s)

基準地震動 S_s による荷重を考慮する。

(4) 積雪荷重 (P_s)

積雪荷重として 30 cm の積雪を考慮する。

3.3.3 荷重の組合せ

荷重の組合せを第 3-3 表に示す。

第 3-3 表 荷重の組合せ

外力の状態	荷重の組合せ
地震時 (S_s)	$G + P + K_s + P_s$

G : 固定荷重

P : 積載荷重

K_s : 地震荷重

P_s : 積雪荷重

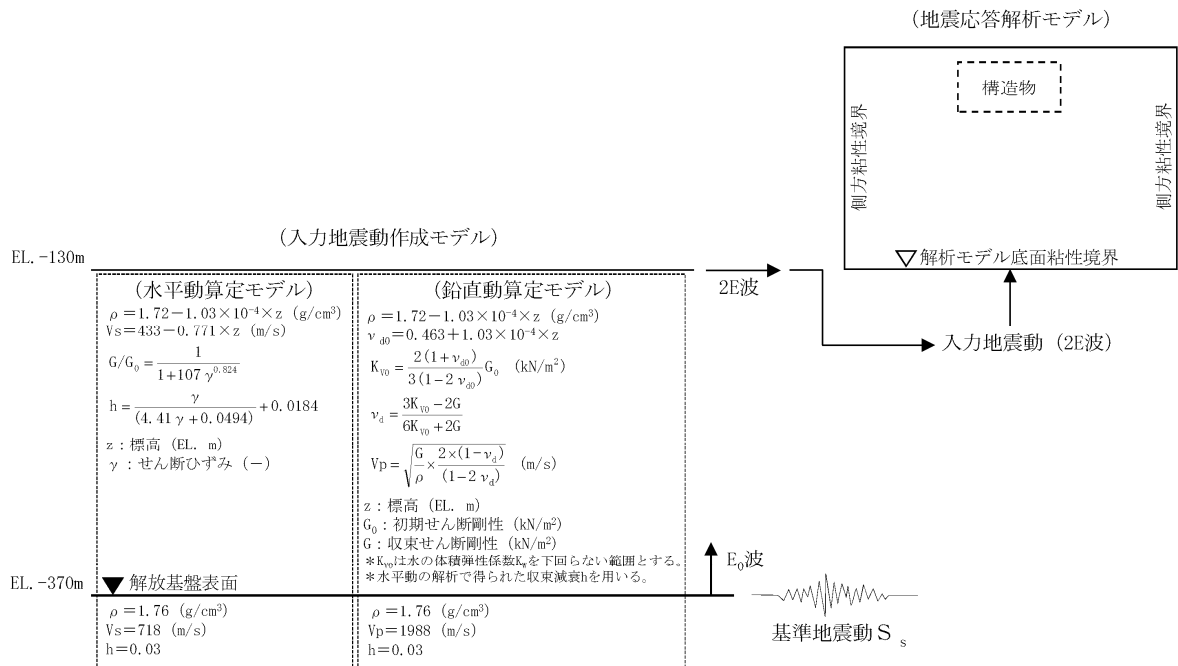
3.4 入力地震動

入力地震動は、添付資料「V-2-1-6 地震応答解析の基本方針」のうち、「2.3 屋外重要土木構造物」に示す入力地震動の設定方針を踏まえて設定する。

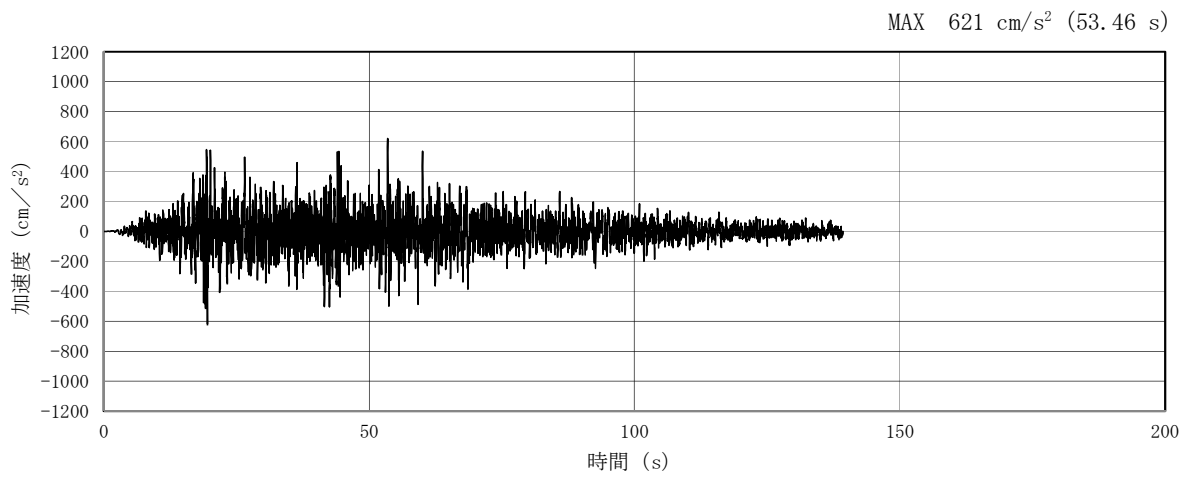
地震応答解析に用いる入力地震動は、解放基盤表面で定義される基準地震動 S_s を 1 次元波動論により地震応答解析モデル底面位置で評価したものをを用いる。

第 3-3 図に入力地震動算定の概念図を、第 3-4 図に入力地震動の加速度時刻歴波形及び加速度応答スペクトルを示す。入力地震動の算定には、解析コード「microSHAKE/3D Ver. 2.2.3.311」を使用する。

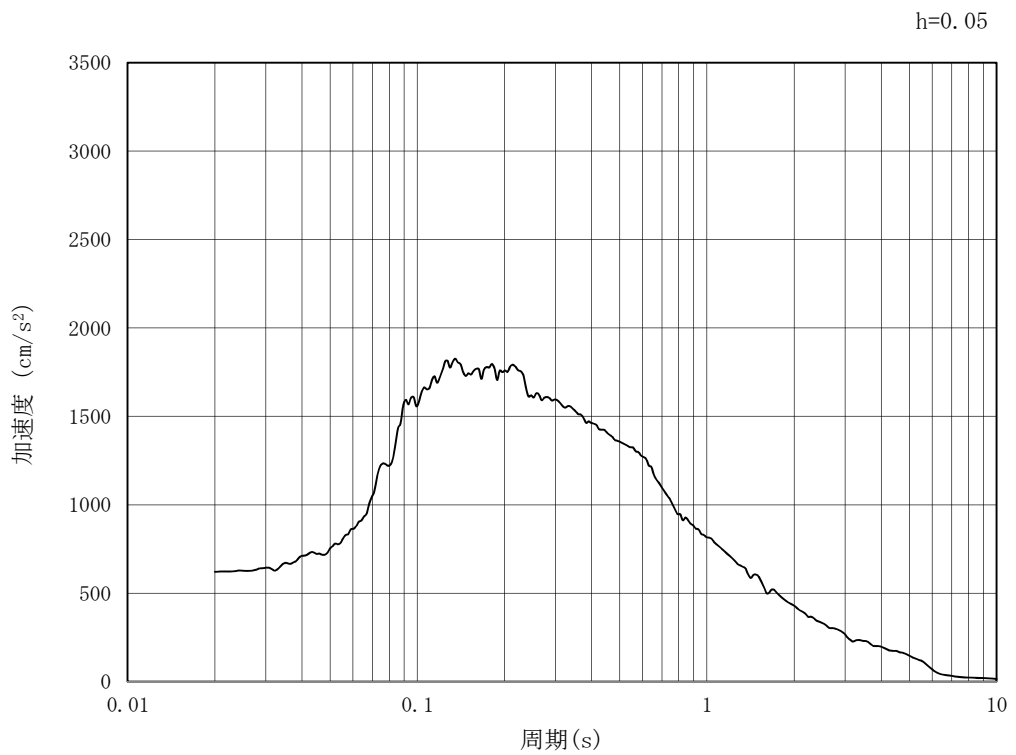
解析コードの検証及び妥当性確認の概要については、添付資料「V-5-20 計算機プログラム（解析コード）の概要・microSHAKE/3D」に示す。



第 3-3 図 入力地震動算定の概念図

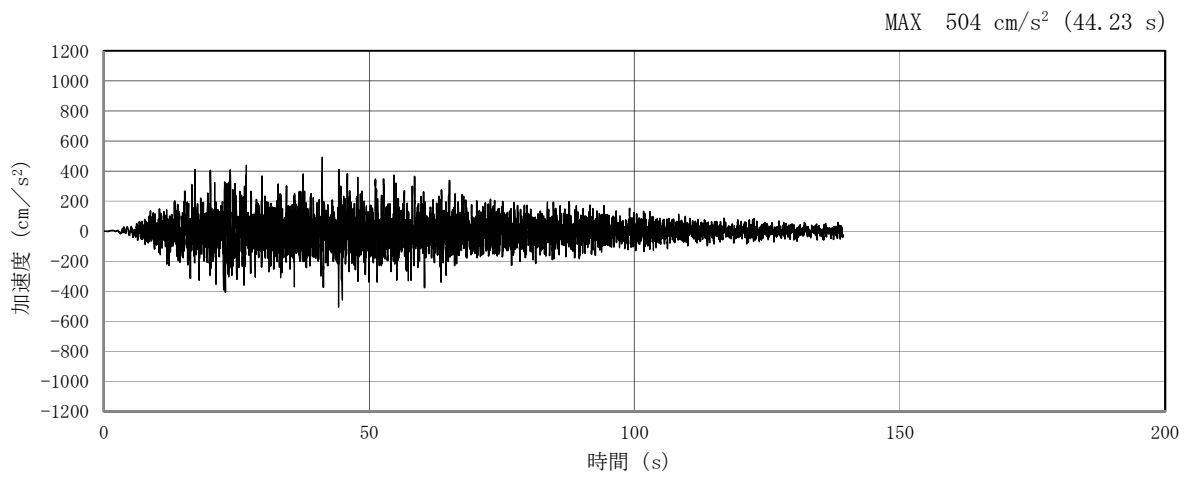


(a) 加速度時刻歴波形

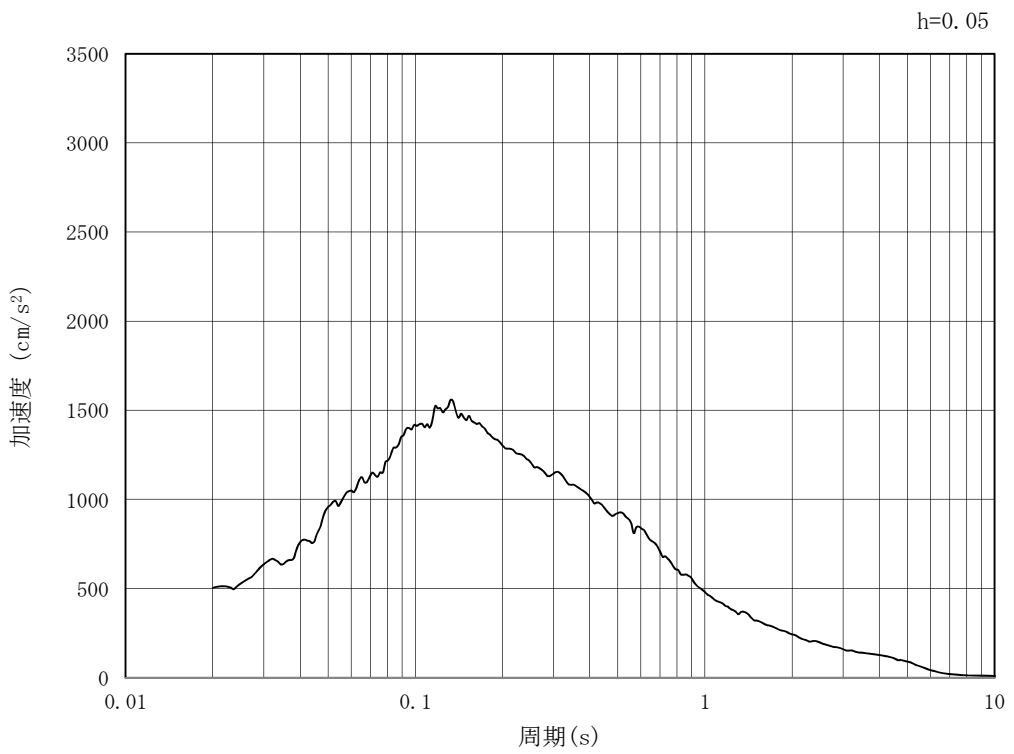


(b) 加速度応答スペクトル

第3-4図 (1) 南北方向断面の入力地震動の加速度時刻歴波形及び加速度応答スペクトル
(水平方向: S_s-D1)

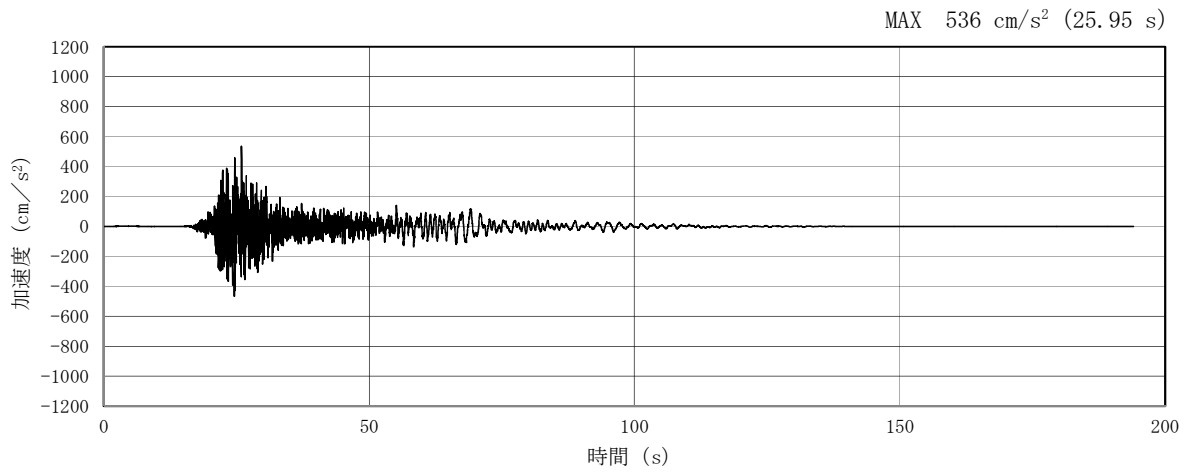


(a) 加速度時刻歴波形

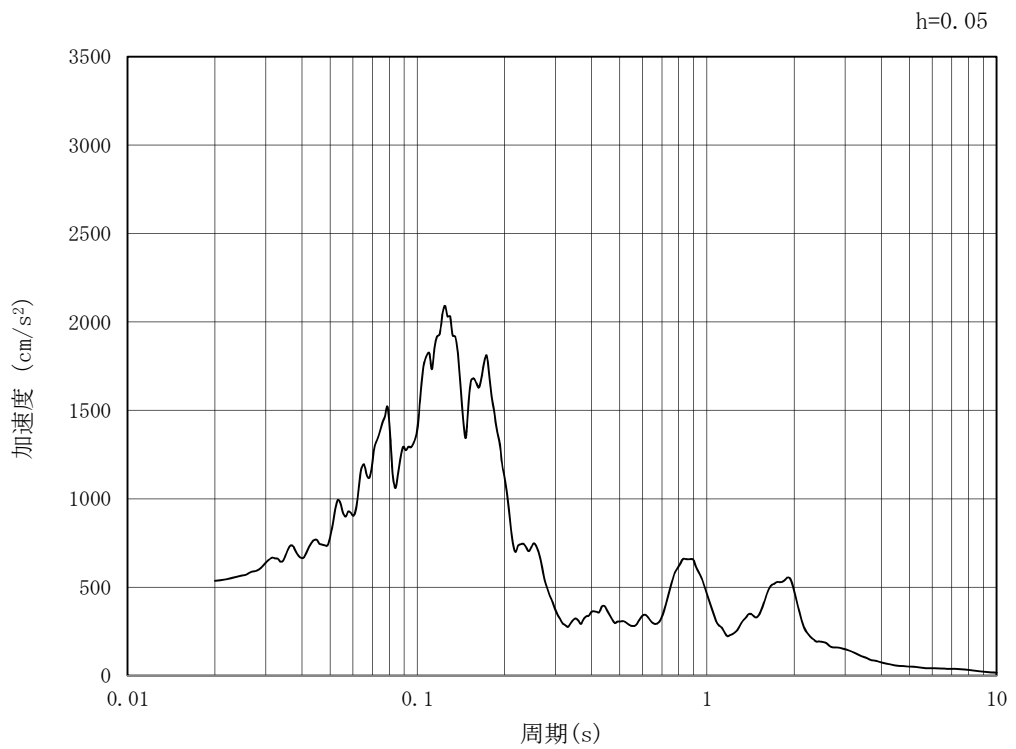


(b) 加速度応答スペクトル

第 3-4 図 (2) 南北方向断面の入力地震動の加速度時刻歴波形及び加速度応答スペクトル
(鉛直方向 : S_s-D 1)

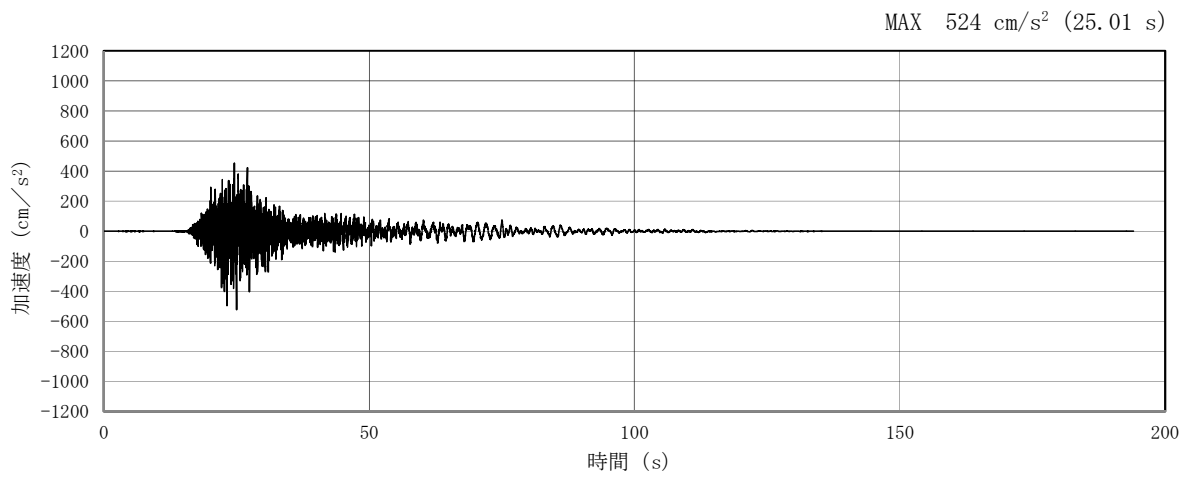


(a) 加速度時刻歴波形

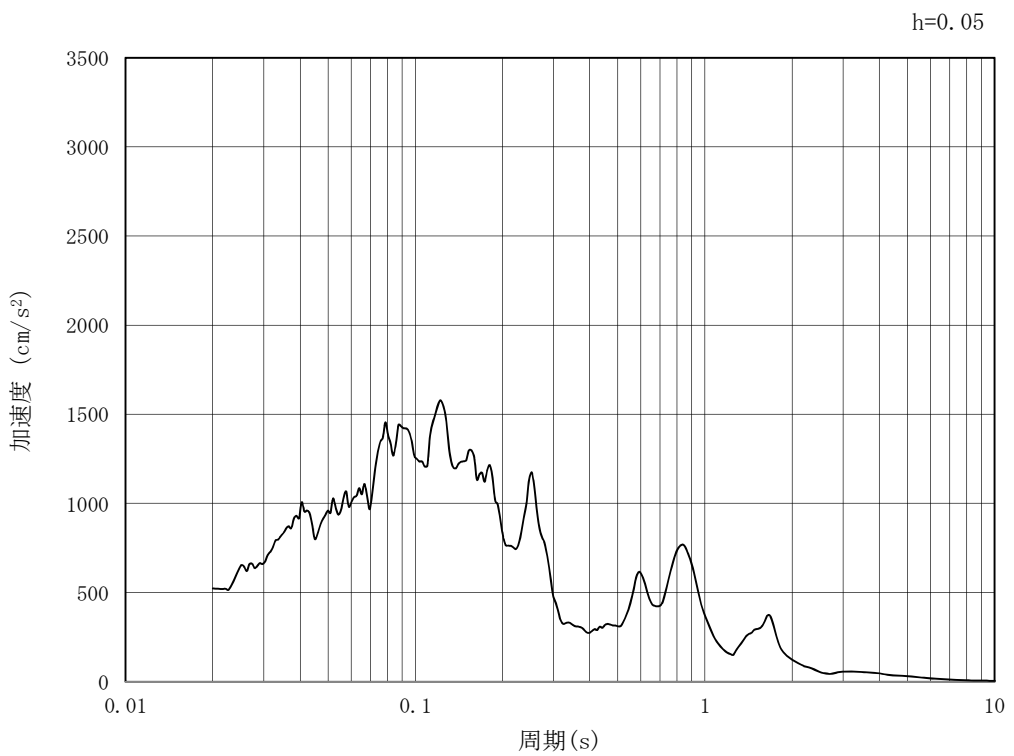


(b) 加速度応答スペクトル

第 3-4 図 (3) 南北方向断面の入力地震動の加速度時刻歴波形及び加速度応答スペクトル
(水平方向 : $S_s - 1 1$)

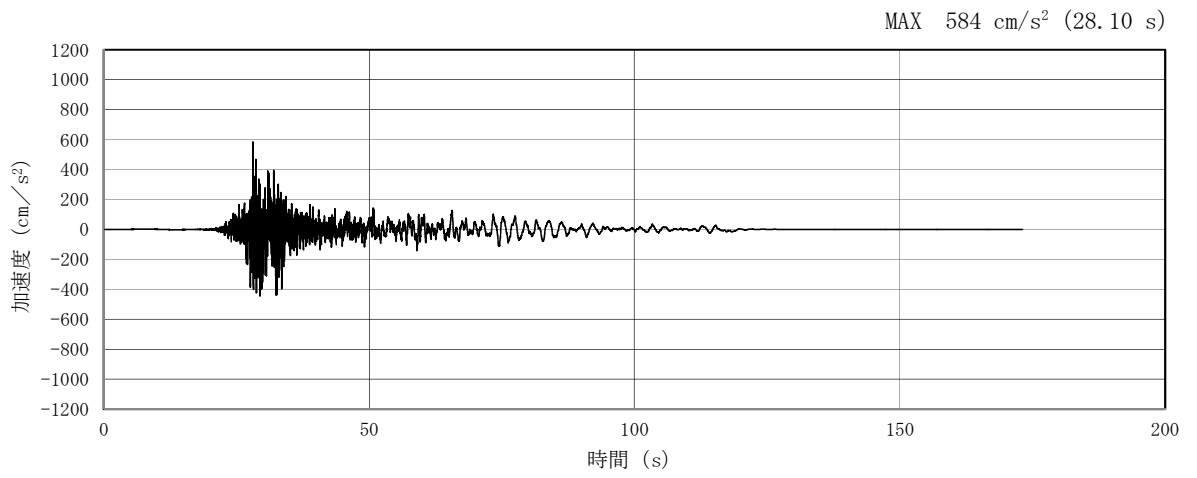


(a) 加速度時刻歴波形

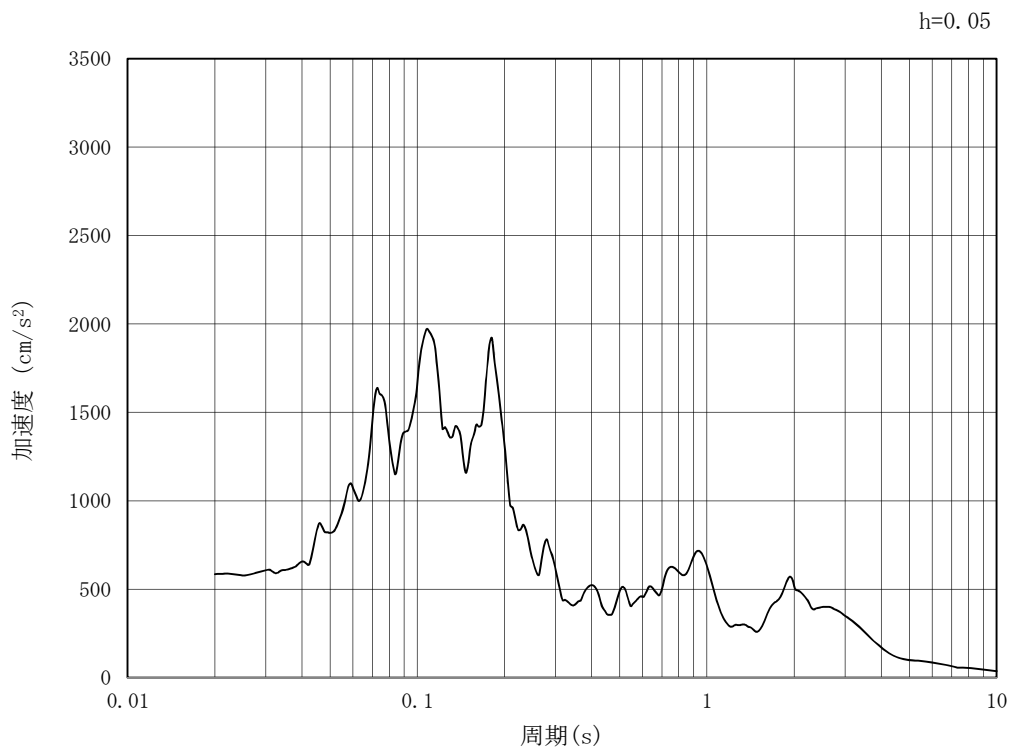


(b) 加速度応答スペクトル

第 3-4 図 (4) 南北方向断面の入力地震動の加速度時刻歴波形及び加速度応答スペクトル
(鉛直方向 : $S_s - 1 1$)

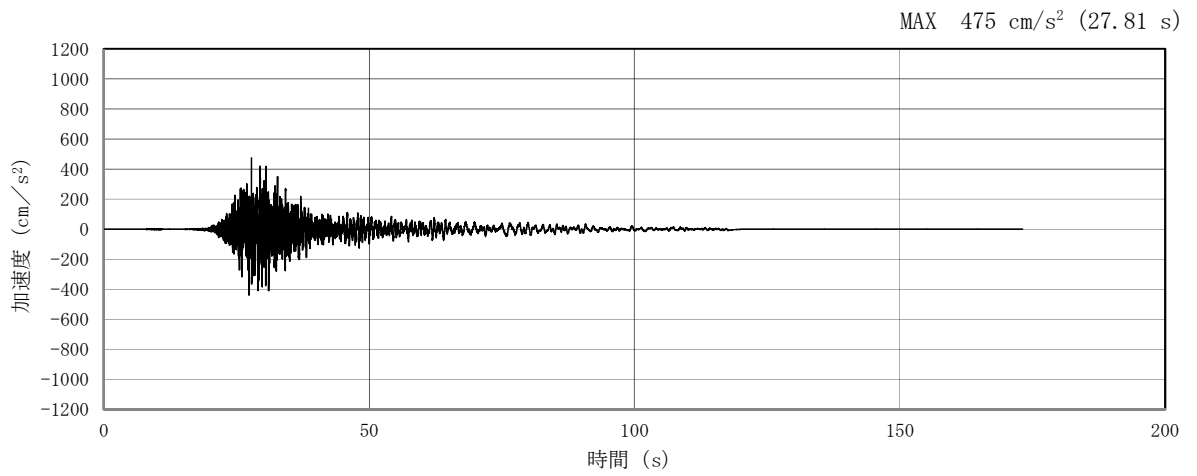


(a) 加速度時刻歴波形

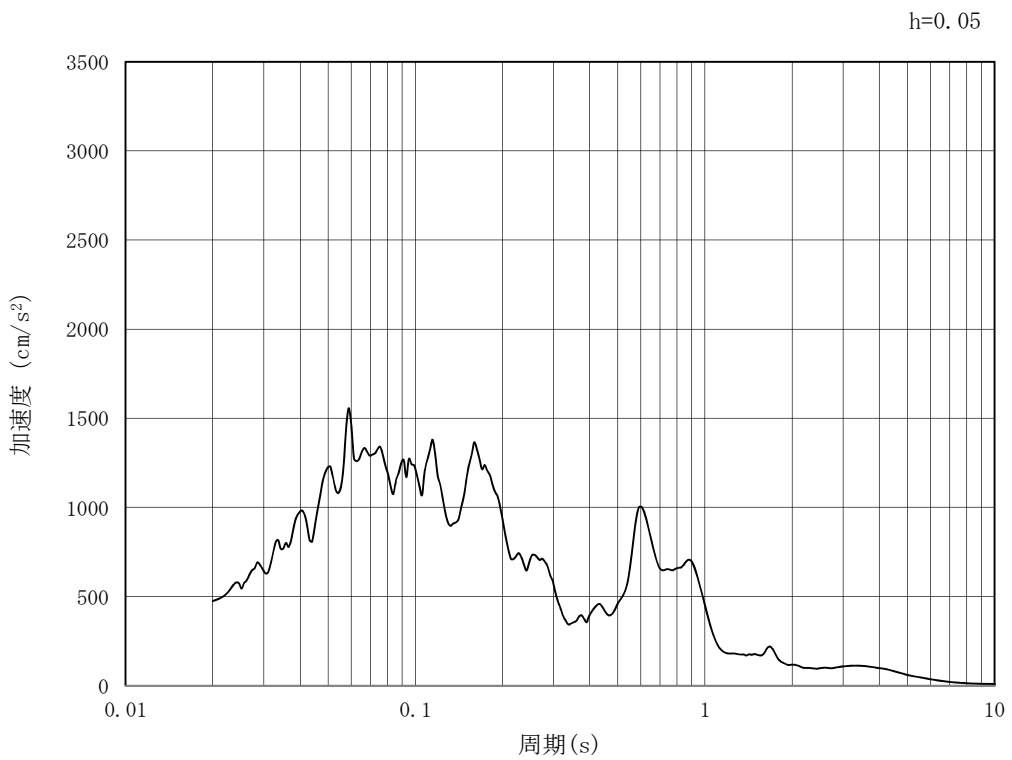


(b) 加速度応答スペクトル

第 3-4 図 (5) 南北方向断面の入力地震動の加速度時刻歴波形及び加速度応答スペクトル
(水平方向 : $S_s - 1 2$)

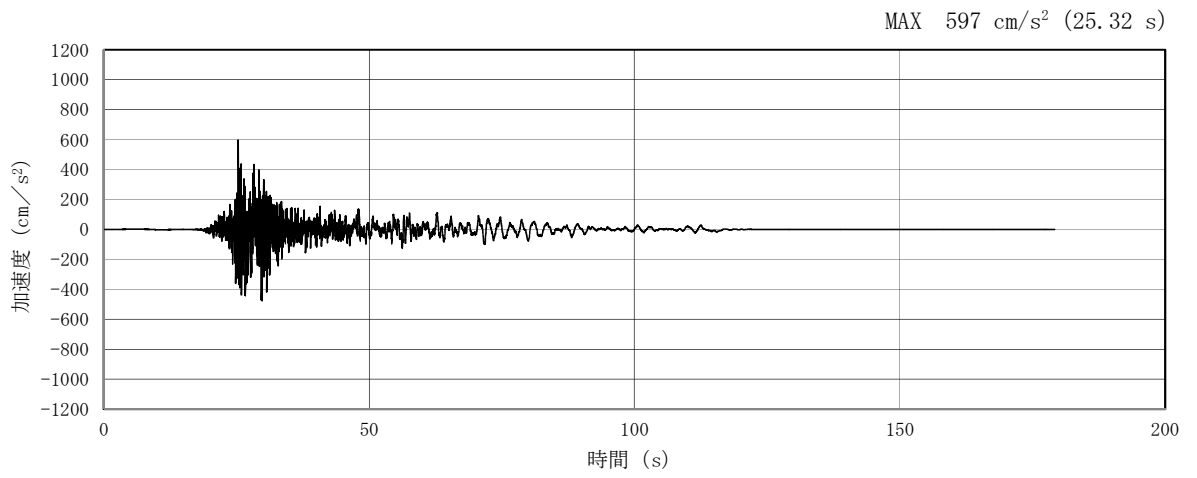


(a) 加速度時刻歴波形

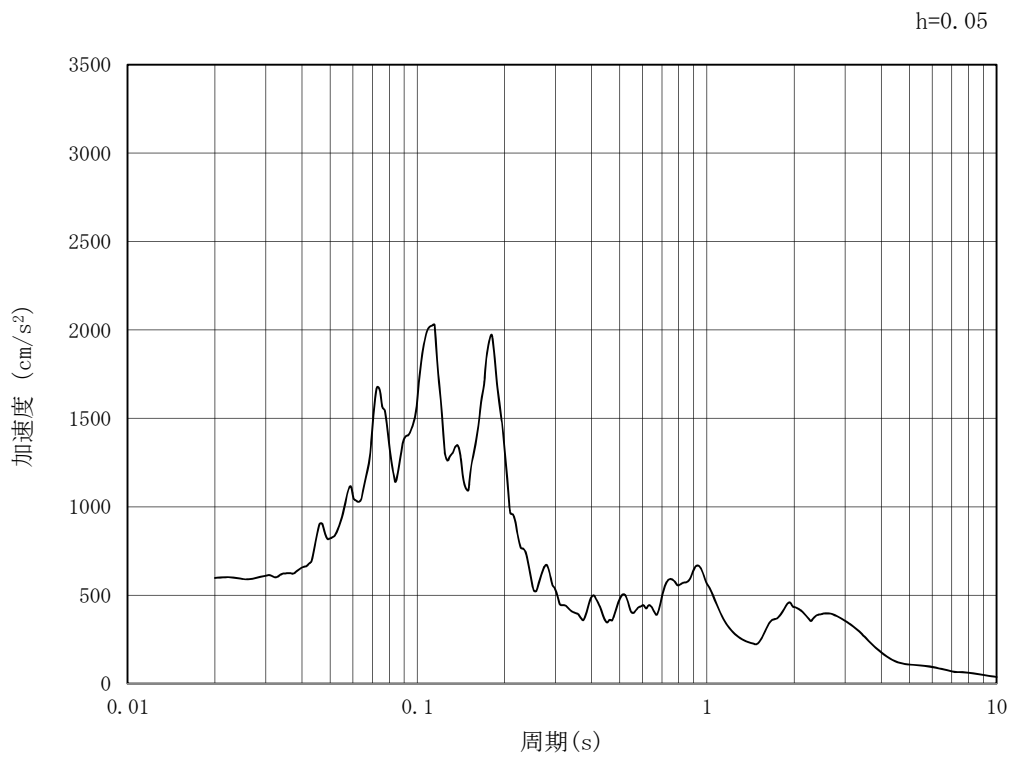


(b) 加速度応答スペクトル

第 3-4 図 (6) 南北方向断面の入力地震動の加速度時刻歴波形及び加速度応答スペクトル
(鉛直方向 : $S_s - 1 2$)

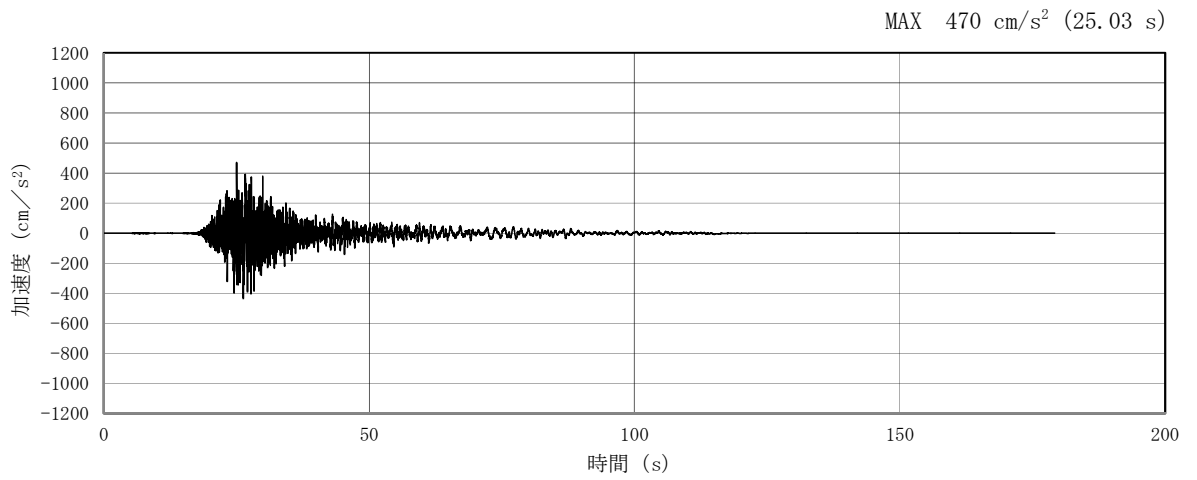


(a) 加速度時刻歴波形

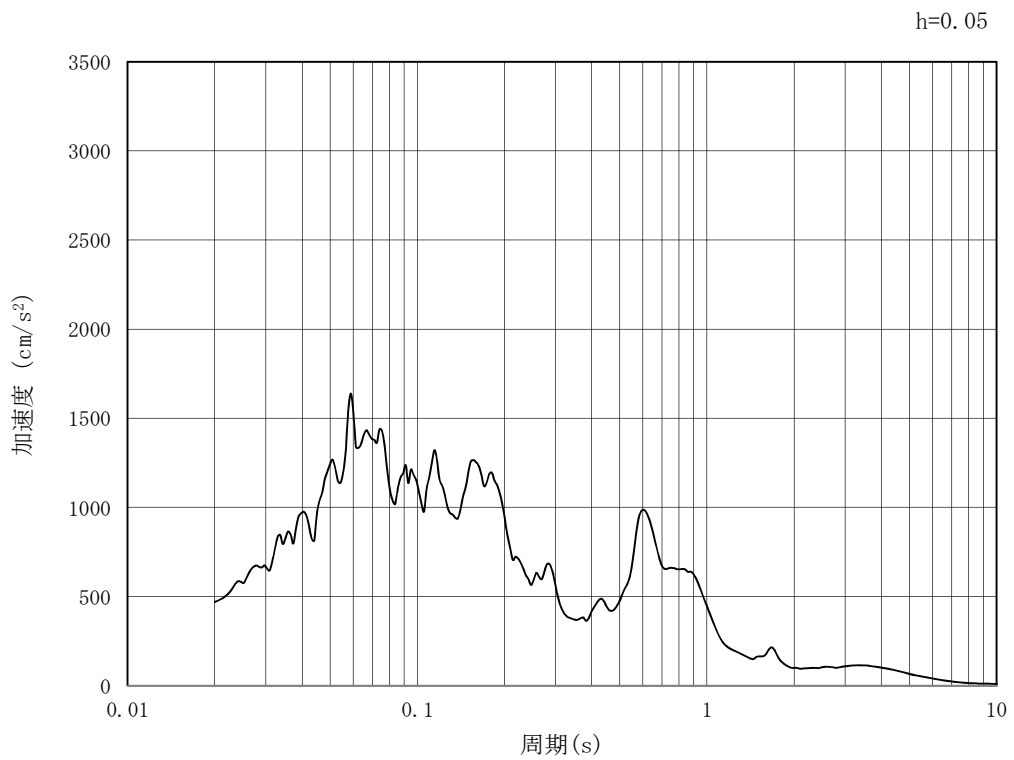


(b) 加速度応答スペクトル

第 3-4 図 (7) 南北方向断面の入力地震動の加速度時刻歴波形及び加速度応答スペクトル
(水平方向 : $S_s - 13$)

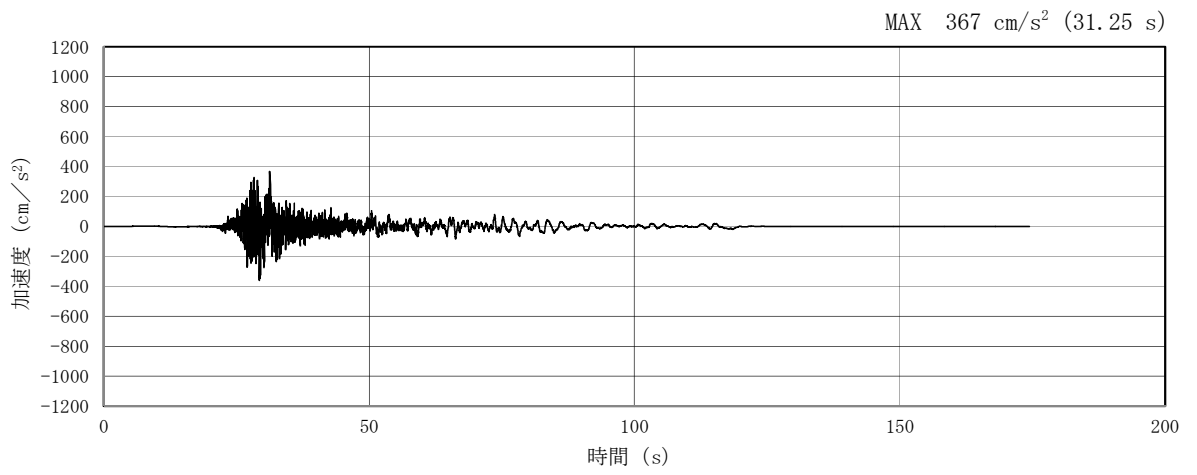


(a) 加速度時刻歴波形

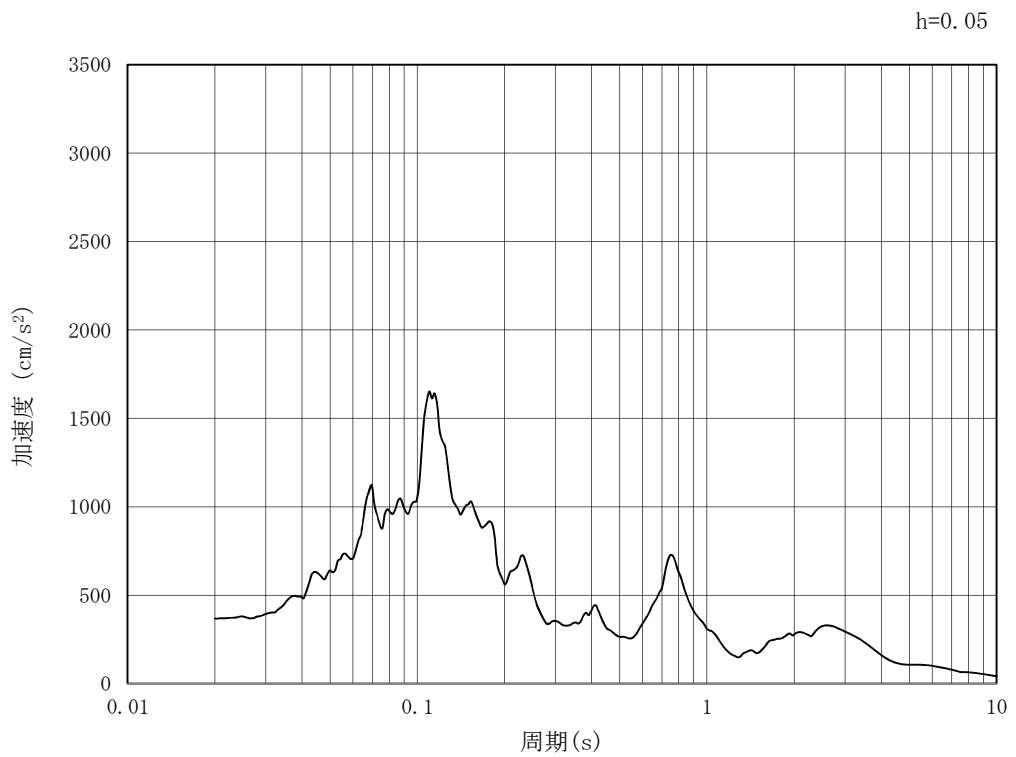


(b) 加速度応答スペクトル

第 3-4 図 (8) 南北方向断面の入力地震動の加速度時刻歴波形及び加速度応答スペクトル
(鉛直方向 : $S_s - 13$)

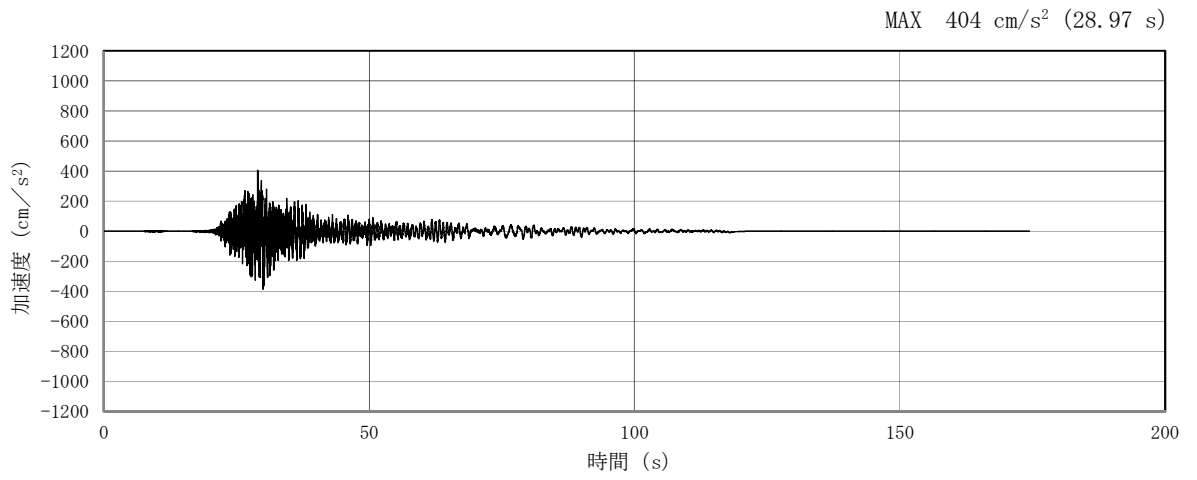


(a) 加速度時刻歴波形

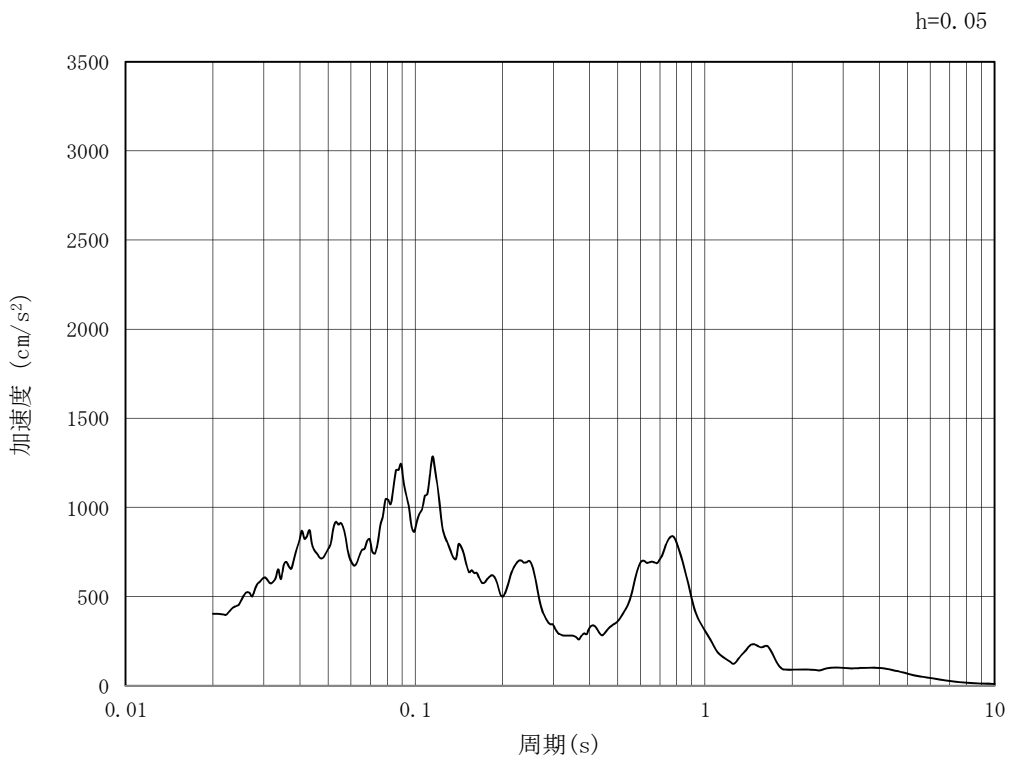


(b) 加速度応答スペクトル

第 3-4 図 (9) 南北方向断面の入力地震動の加速度時刻歴波形及び加速度応答スペクトル
(水平方向 : $S_s - 1.4$)

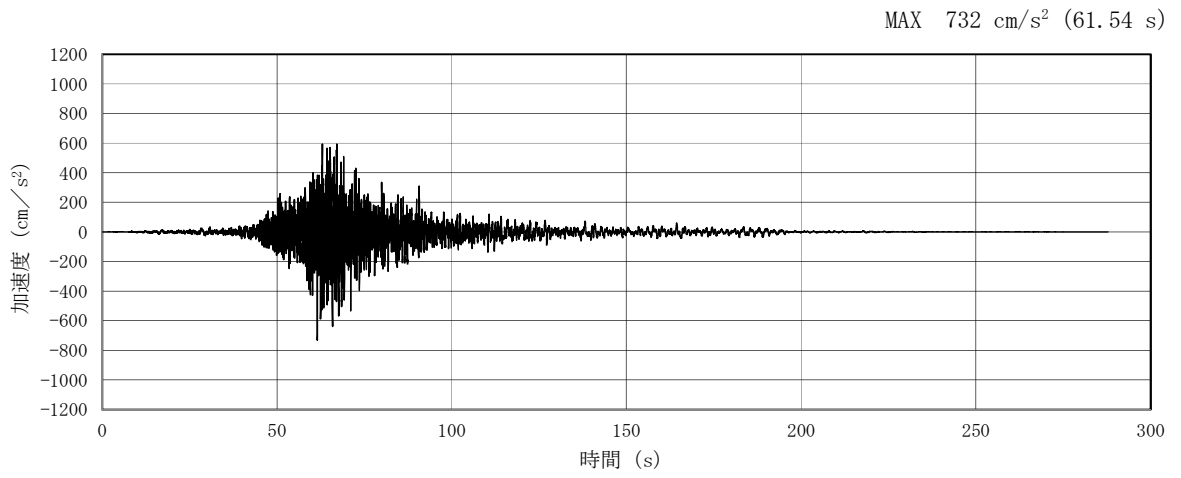


(a) 加速度時刻歴波形

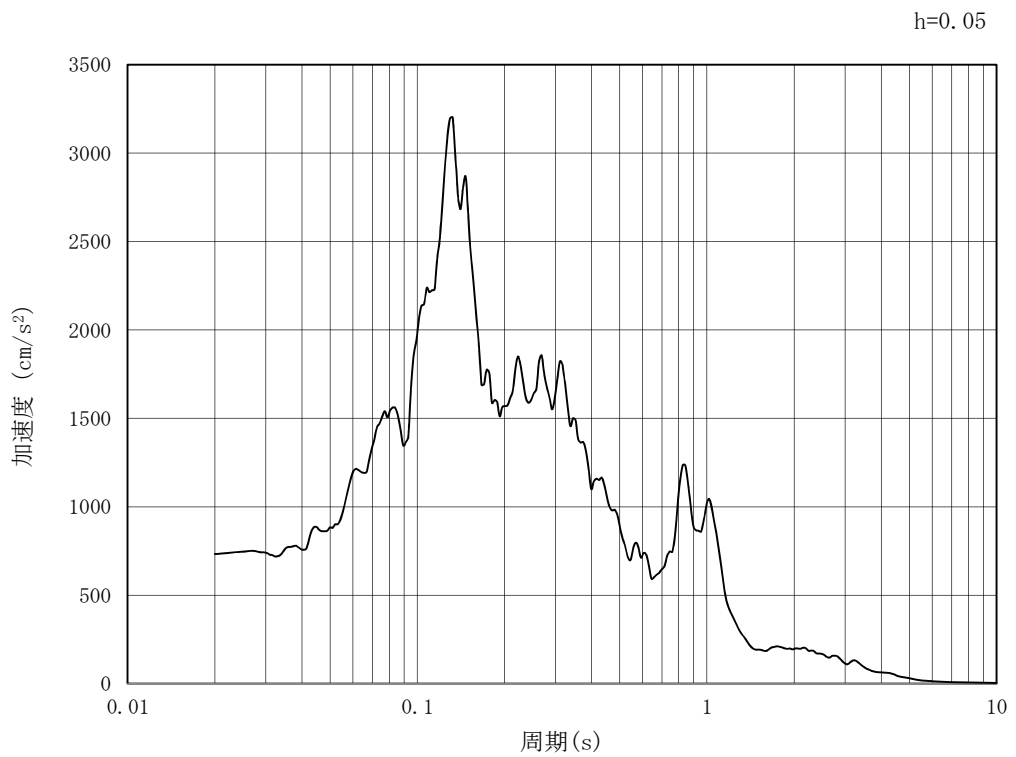


(b) 加速度応答スペクトル

第3-4図 (10) 南北方向断面の入力地震動の加速度時刻歴波形及び加速度応答スペクトル
(鉛直方向: $S_s - 1.4$)

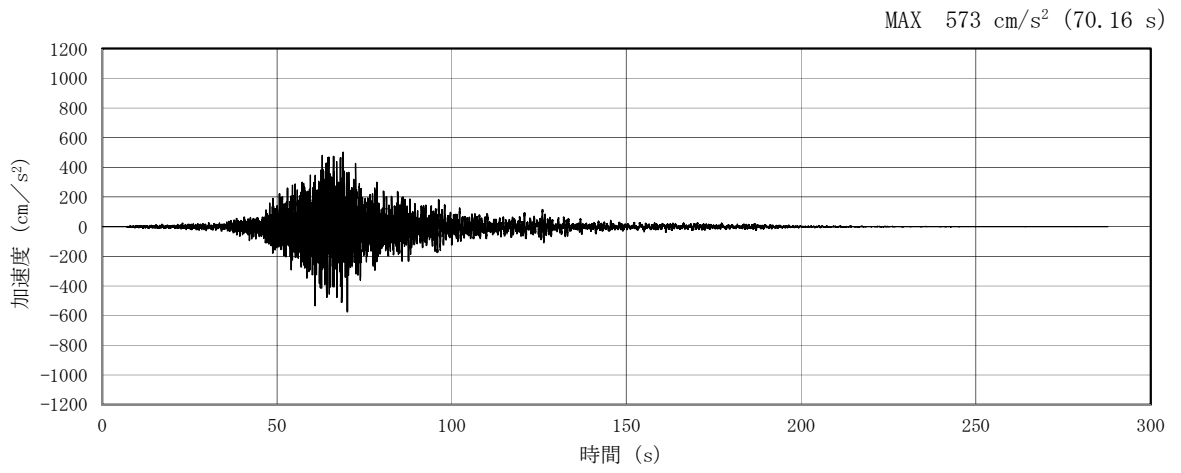


(a) 加速度時刻歴波形

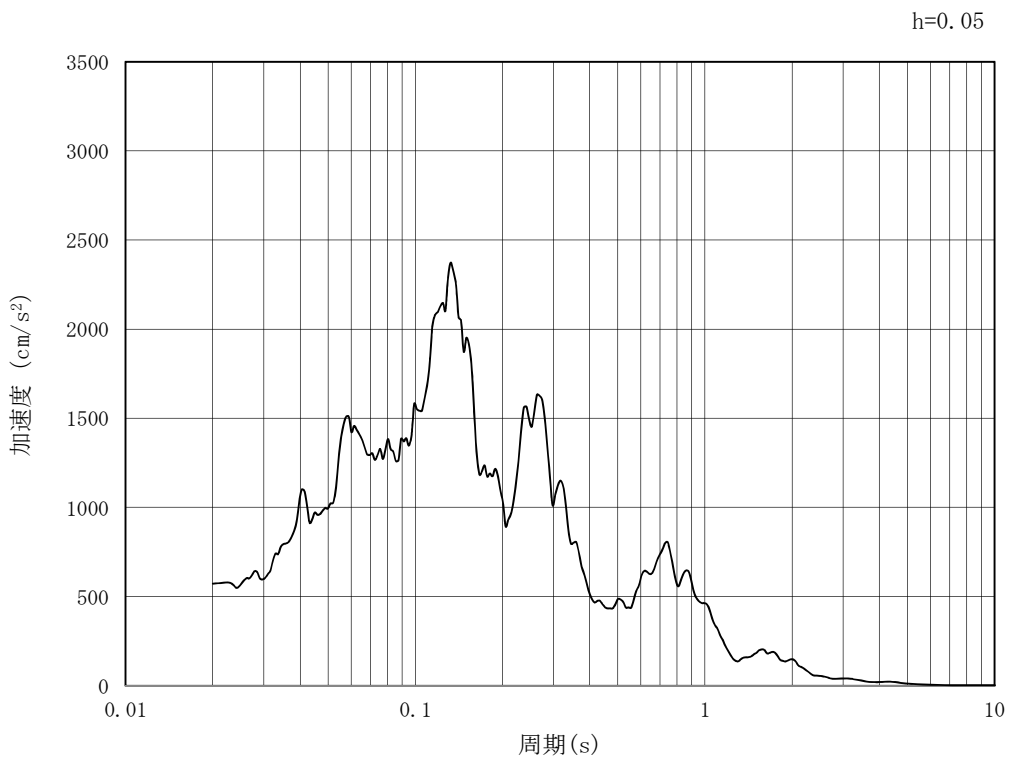


(b) 加速度応答スペクトル

第 3-4 図 (11) 南北方向断面の入力地震動の加速度時刻歴波形及び加速度応答スペクトル
(水平方向 : $S_s - 21$)

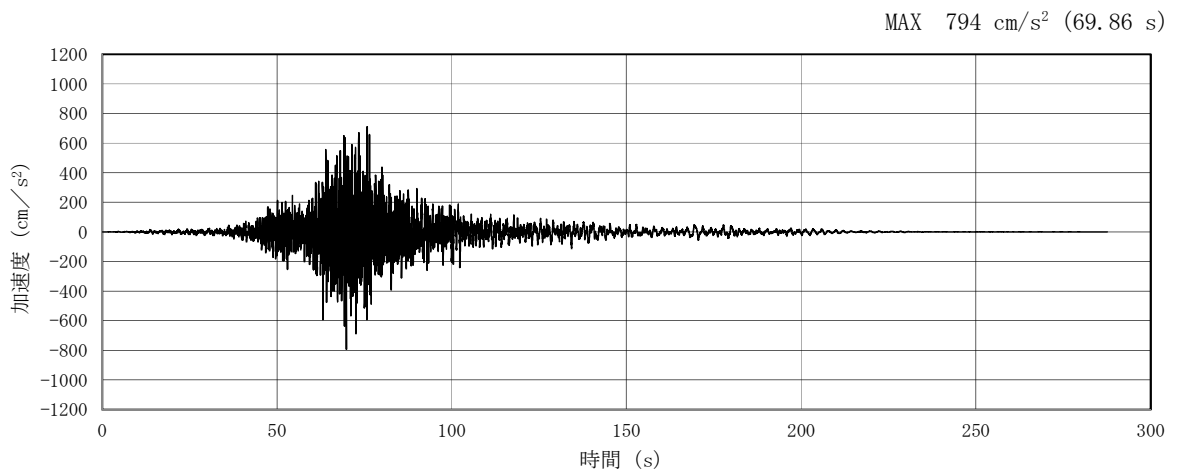


(a) 加速度時刻歴波形

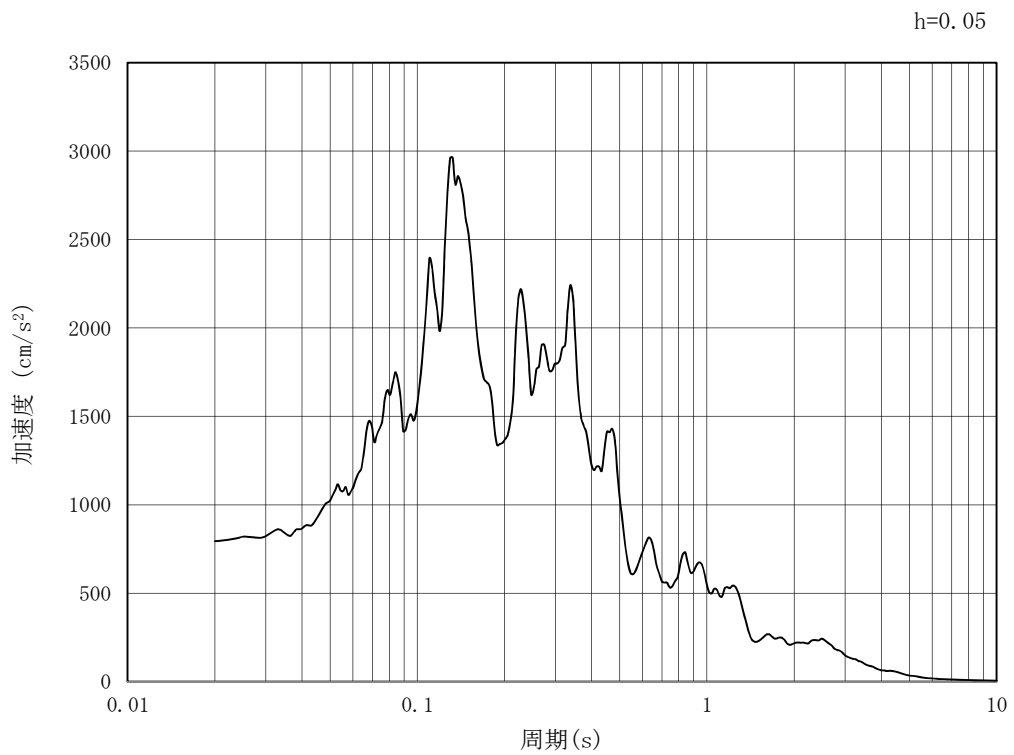


(b) 加速度応答スペクトル

第 3-4 図 (12) 南北方向断面の入力地震動の加速度時刻歴波形及び加速度応答スペクトル
(鉛直方向 : $S_s - 21$)

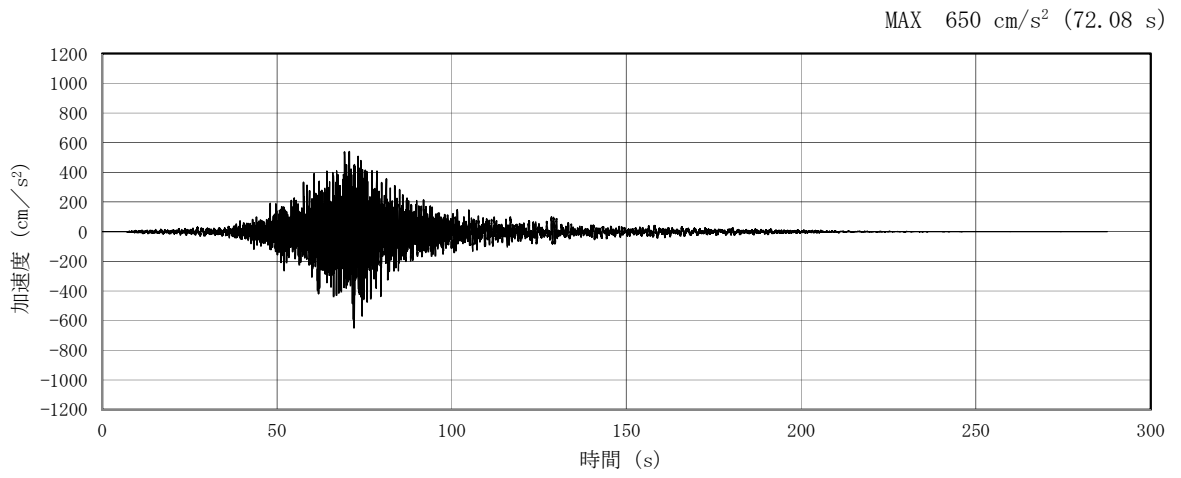


(a) 加速度時刻歴波形

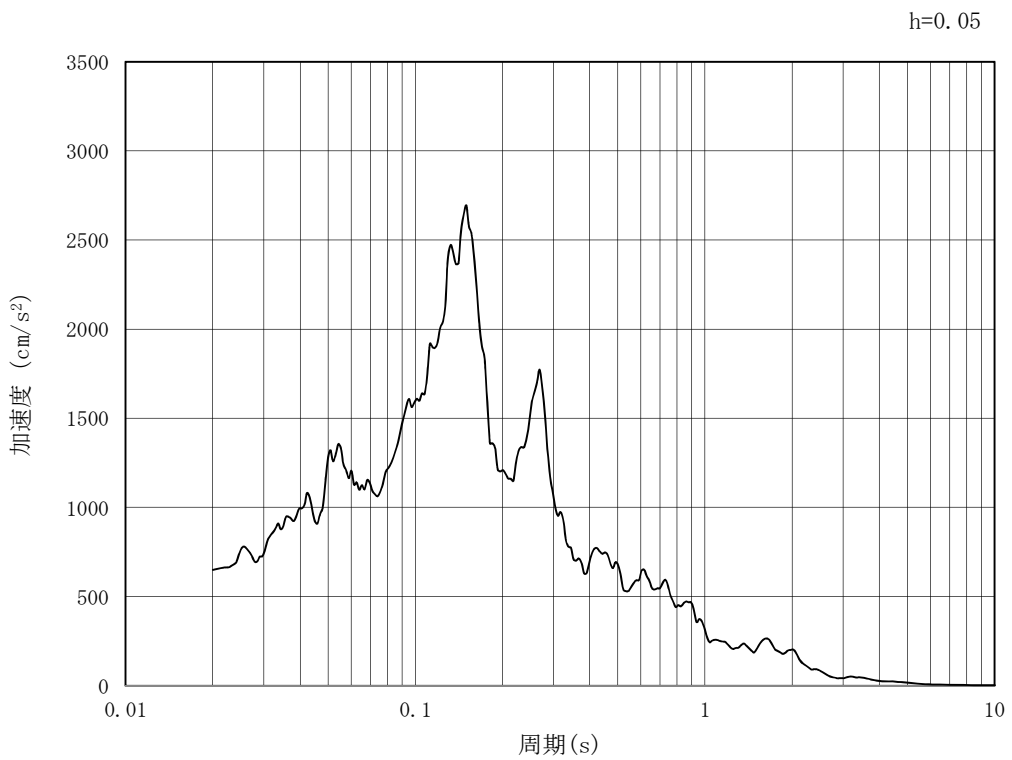


(b) 加速度応答スペクトル

第 3-4 図 (13) 南北方向断面の入力地震動の加速度時刻歴波形及び加速度応答スペクトル
(水平方向 : $S_s - 22$)

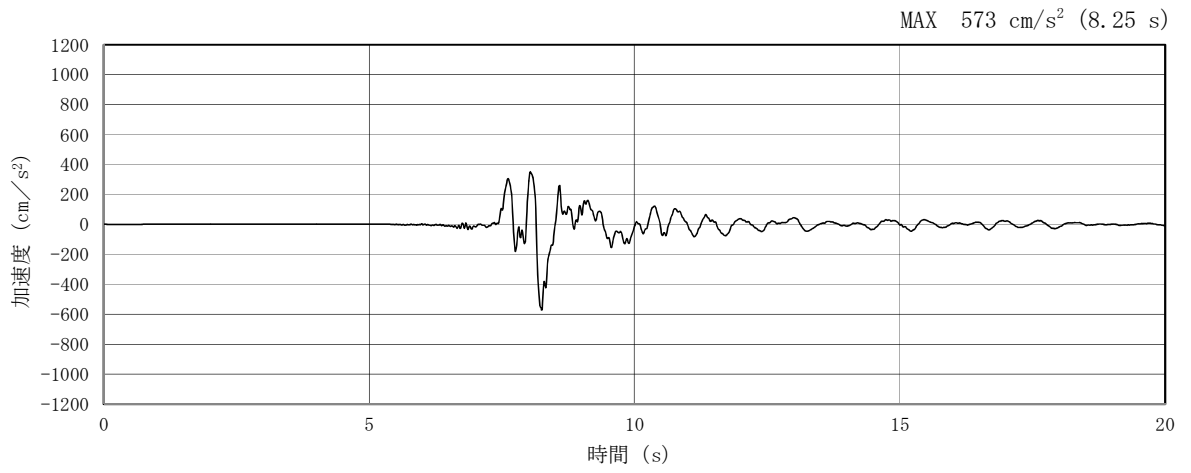


(a) 加速度時刻歴波形

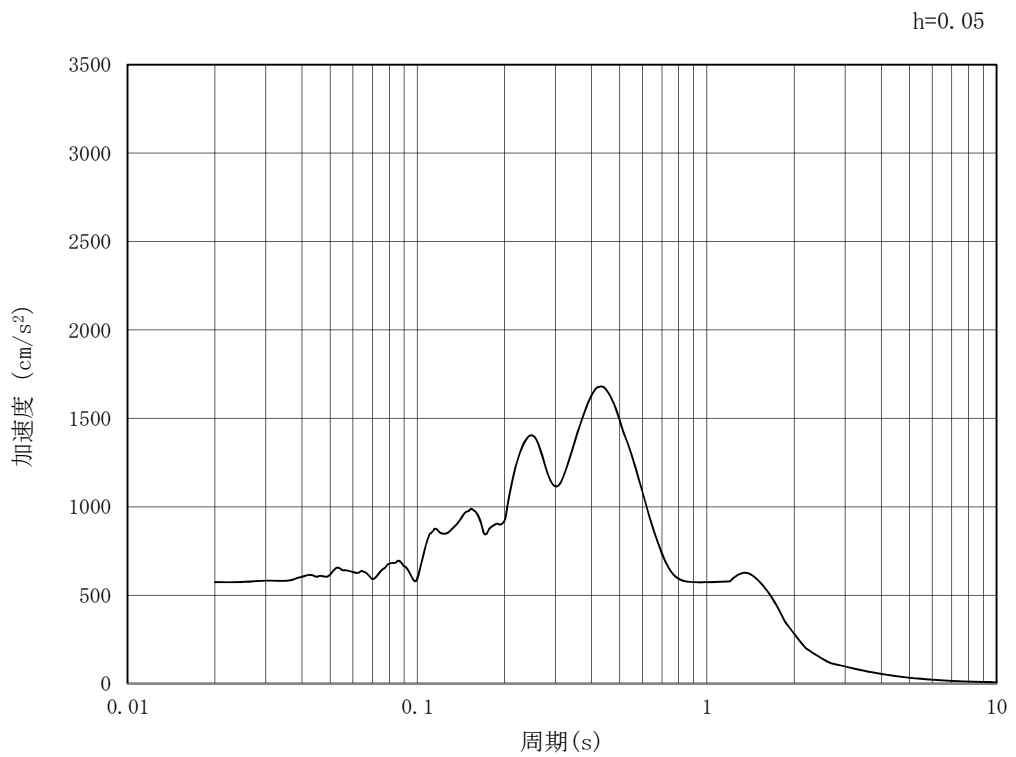


(b) 加速度応答スペクトル

第3-4図 (14) 南北方向断面の入力地震動の加速度時刻歴波形及び加速度応答スペクトル
(鉛直方向: S_s-22)

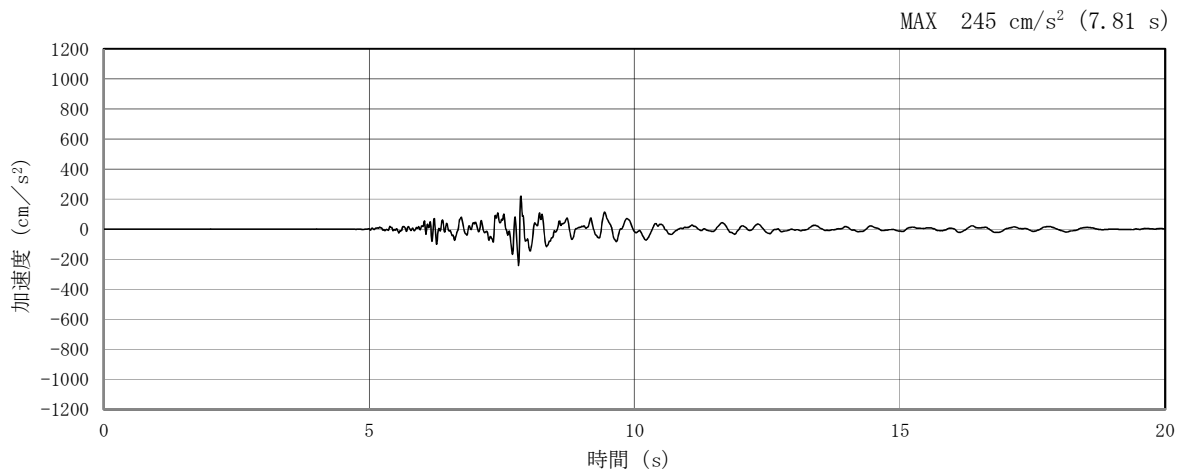


(a) 加速度時刻歴波形

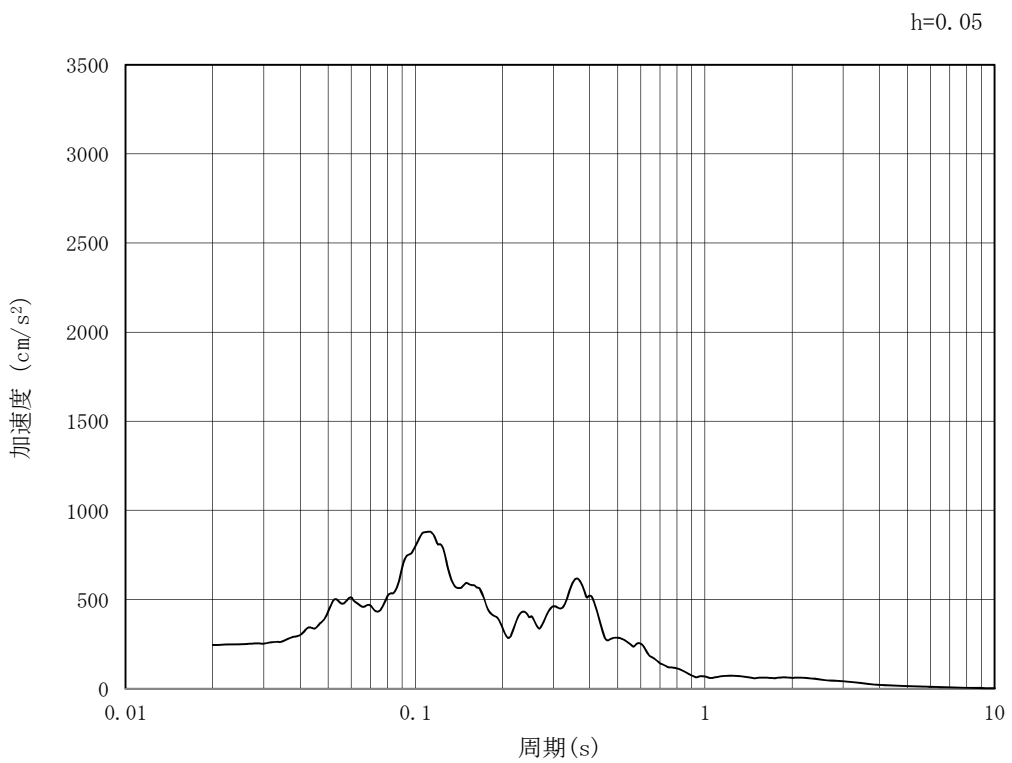


(b) 加速度応答スペクトル

第3-4図 (15) 南北方向断面の入力地震動の加速度時刻歴波形及び加速度応答スペクトル
(水平方向: $S_s - 31$)

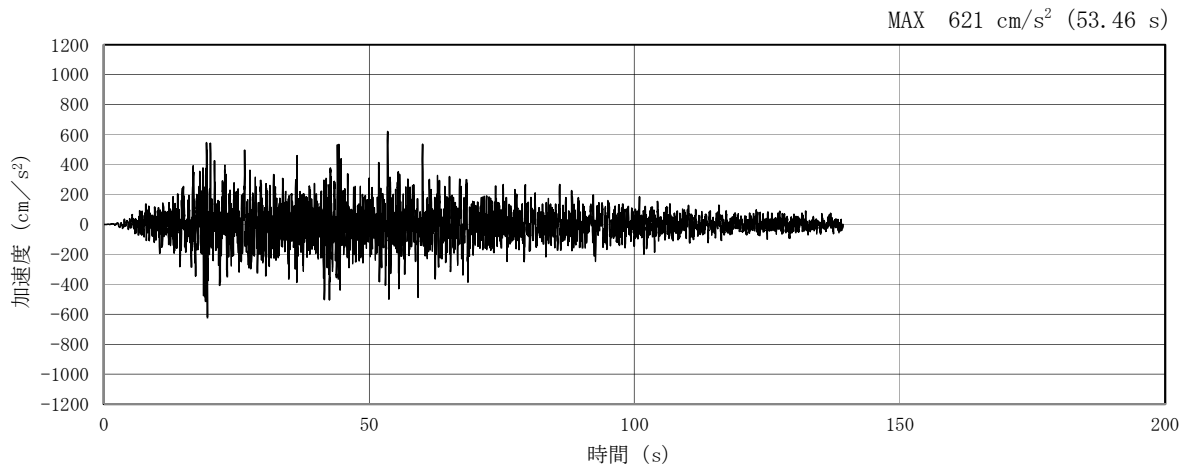


(a) 加速度時刻歴波形

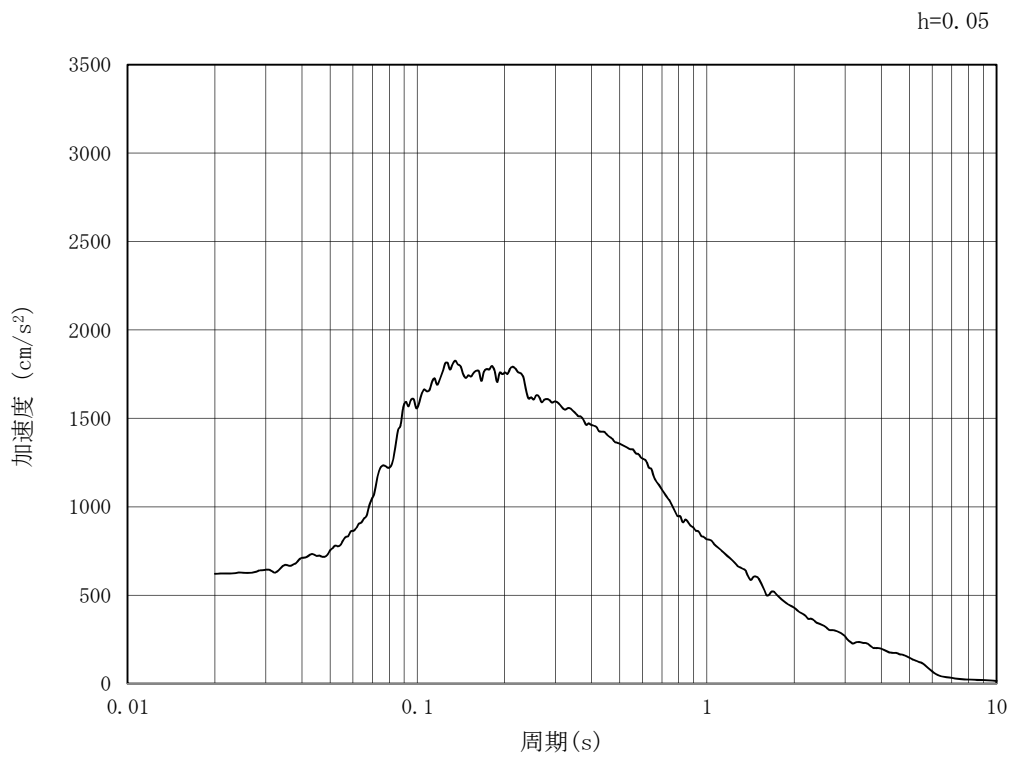


(b) 加速度応答スペクトル

第3-4図 (16) 南北方向断面の入力地震動の加速度時刻歴波形及び加速度応答スペクトル
(鉛直方向: $S_s - 31$)

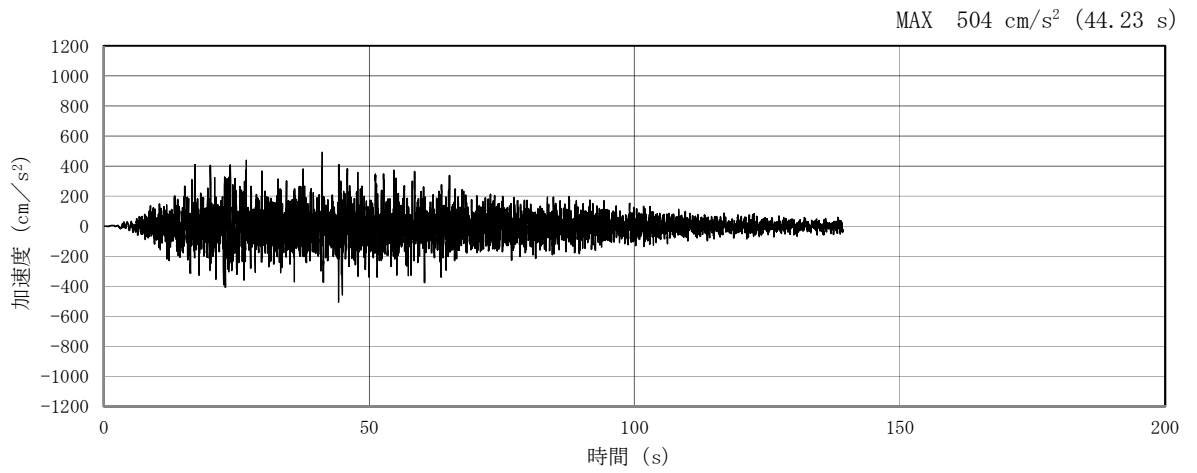


(a) 加速度時刻歴波形

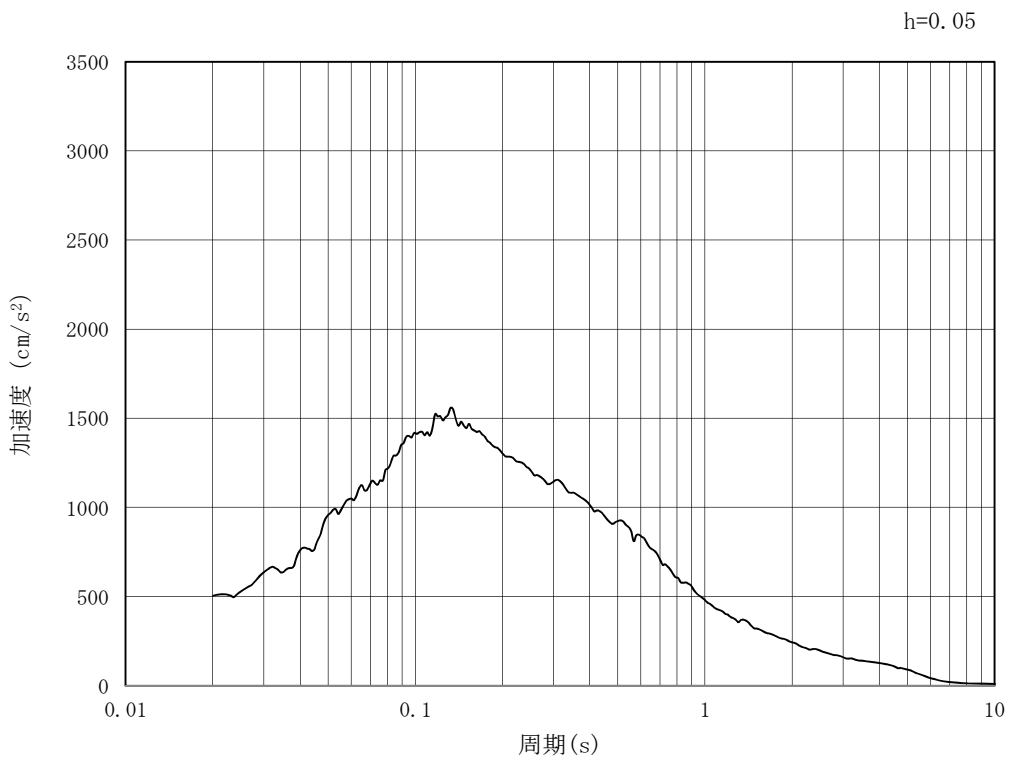


(b) 加速度応答スペクトル

第3-4図 (17) 東西方向断面の入力地震動の加速度時刻歴波形及び加速度応答スペクトル
(水平方向：S_s-D1)

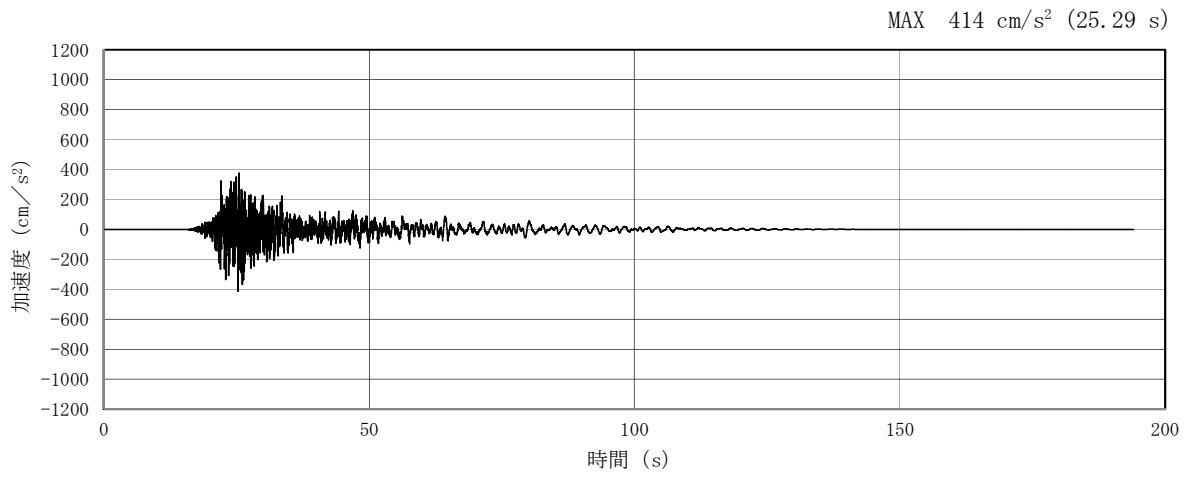


(a) 加速度時刻歴波形

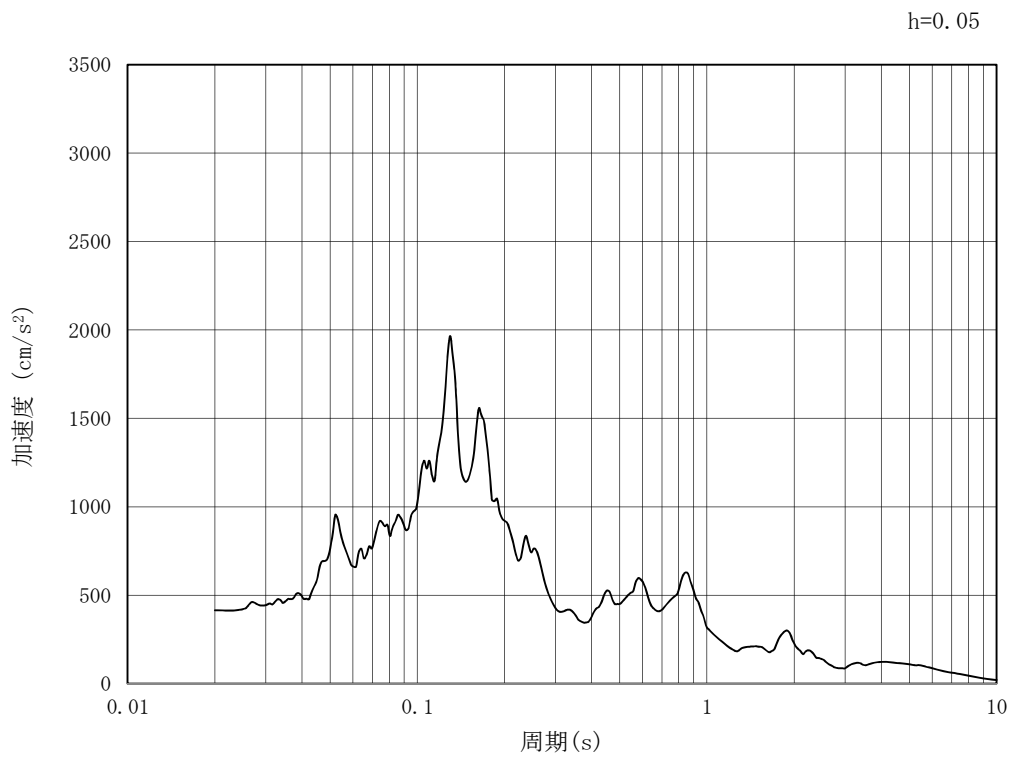


(b) 加速度応答スペクトル

第3-4図 (18) 東西方向断面の入力地震動の加速度時刻歴波形及び加速度応答スペクトル
(鉛直方向：S_s-D1)

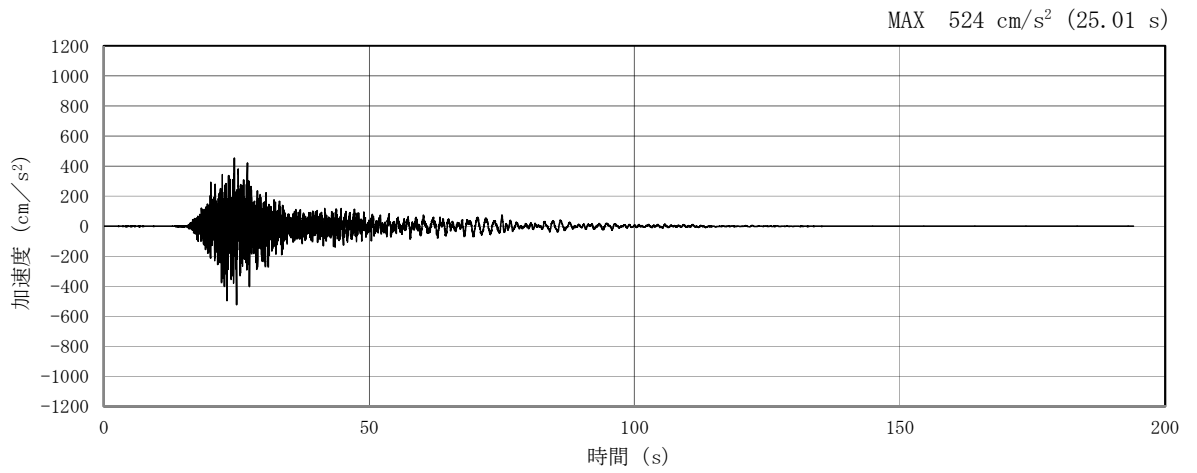


(a) 加速度時刻歴波形

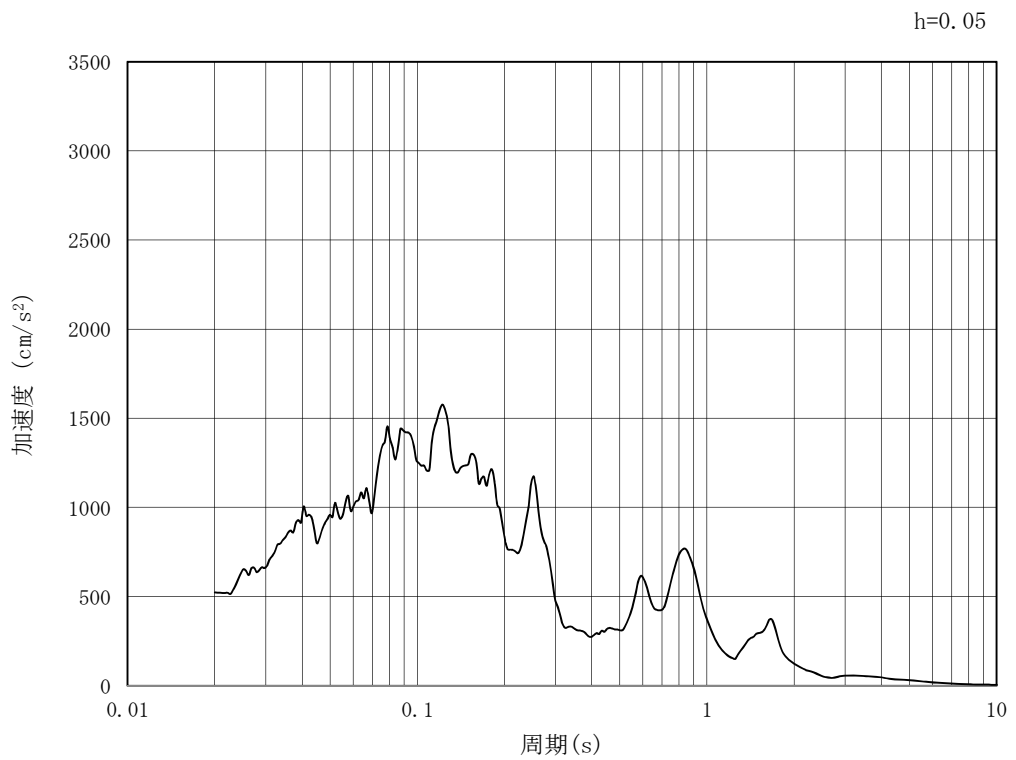


(b) 加速度応答スペクトル

第 3-4 図 (19) 東西方向断面の入力地震動の加速度時刻歴波形及び加速度応答スペクトル
(水平方向 : $S_s - 1 1$)

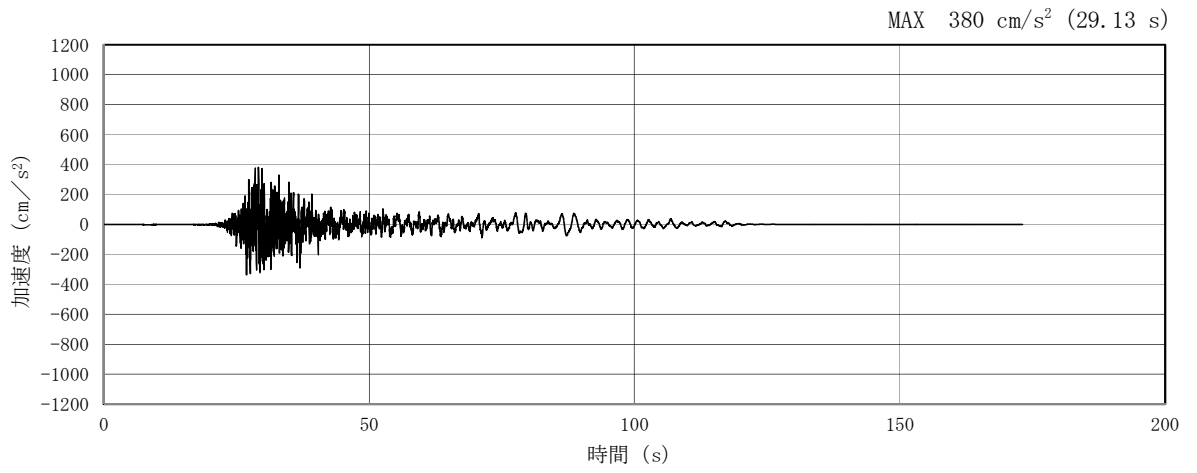


(a) 加速度時刻歴波形

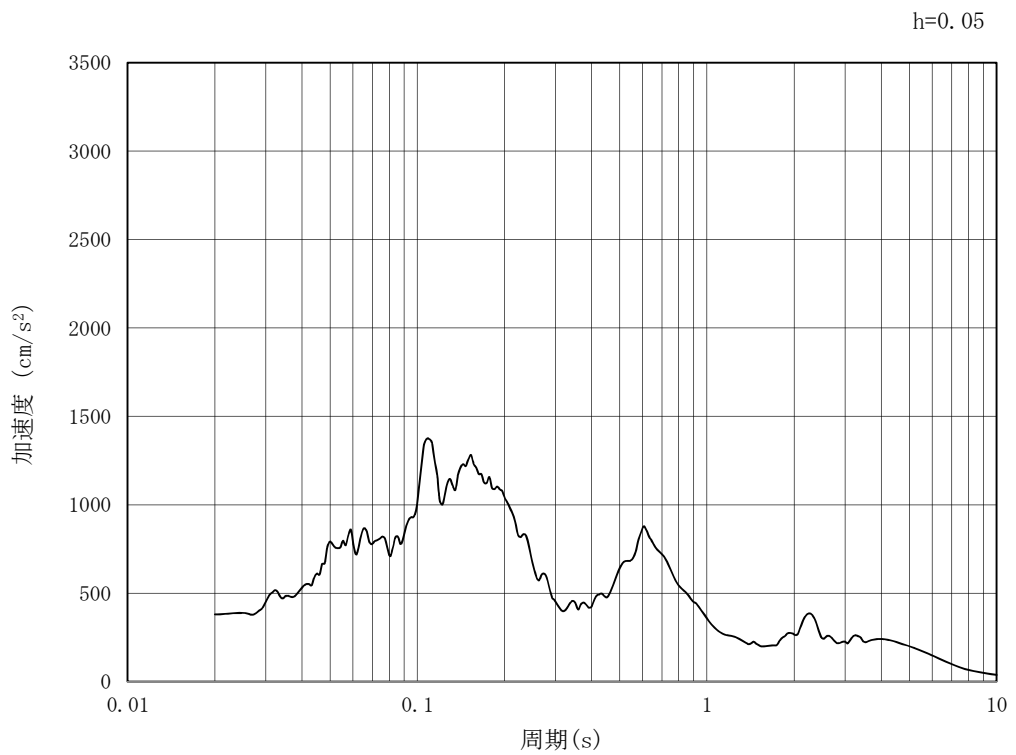


(b) 加速度応答スペクトル

第 3-4 図 (20) 東西方向断面の入力地震動の加速度時刻歴波形及び加速度応答スペクトル
(鉛直方向 : $S_s - 1.1$)

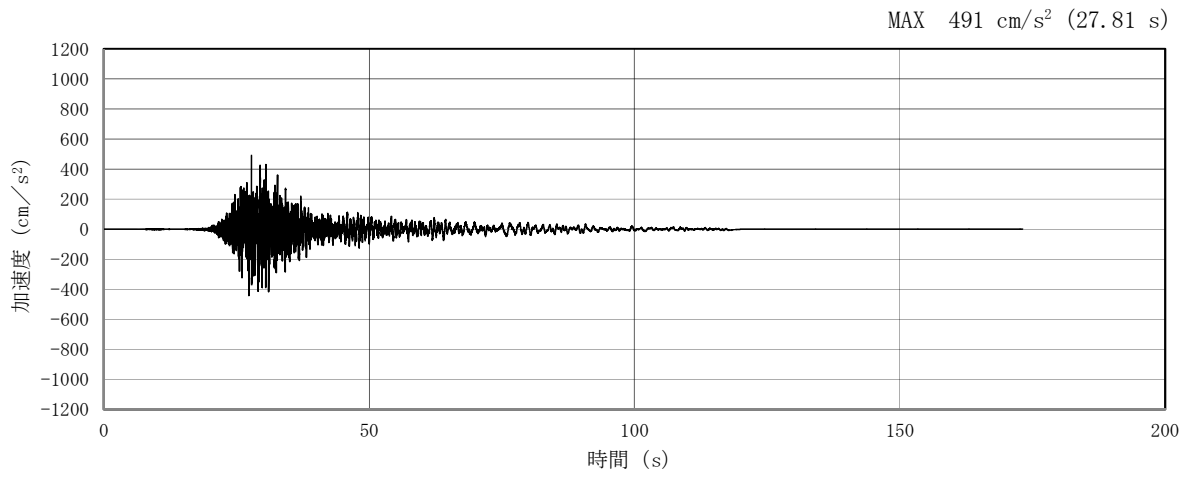


(a) 加速度時刻歴波形

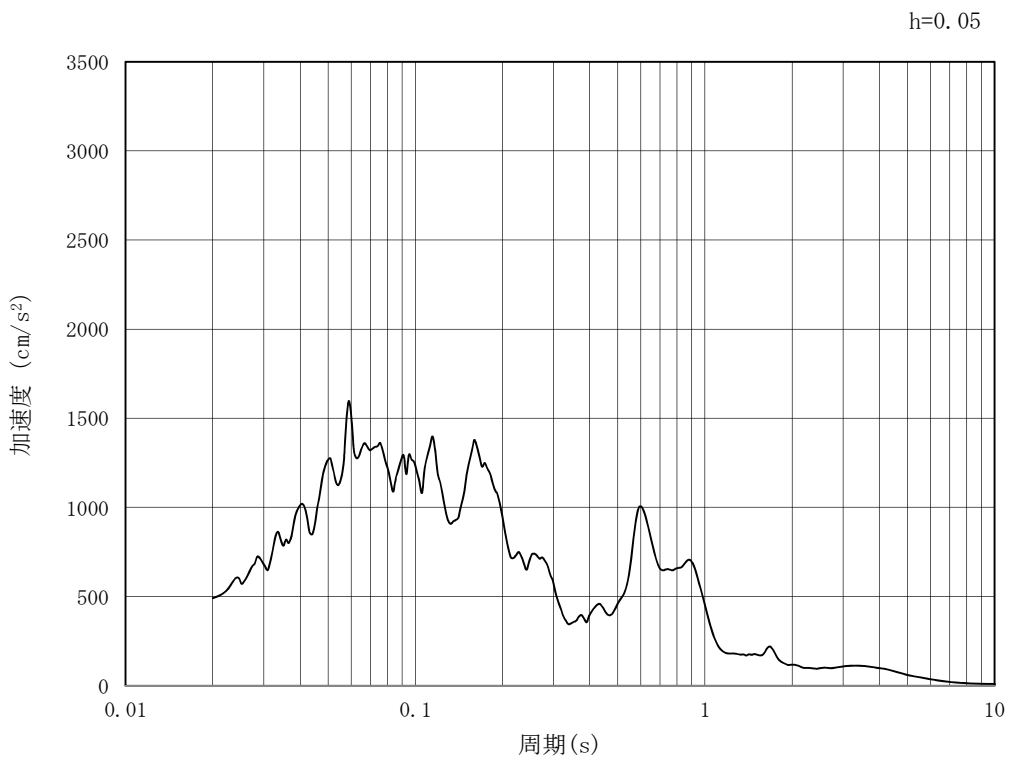


(b) 加速度応答スペクトル

第 3-4 図 (21) 東西方向断面の入力地震動の加速度時刻歴波形及び加速度応答スペクトル
(水平方向 : $S_s - 1 2$)

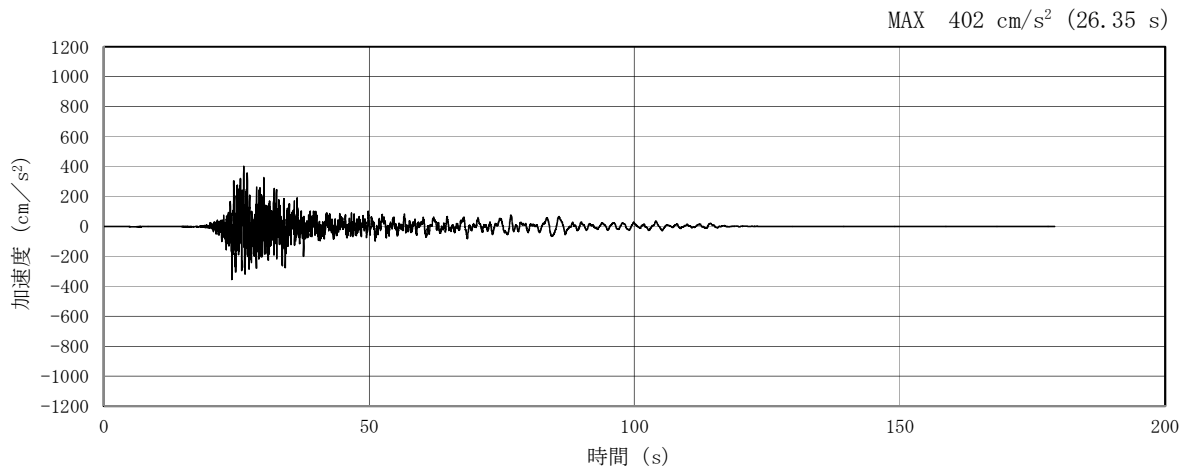


(a) 加速度時刻歴波形

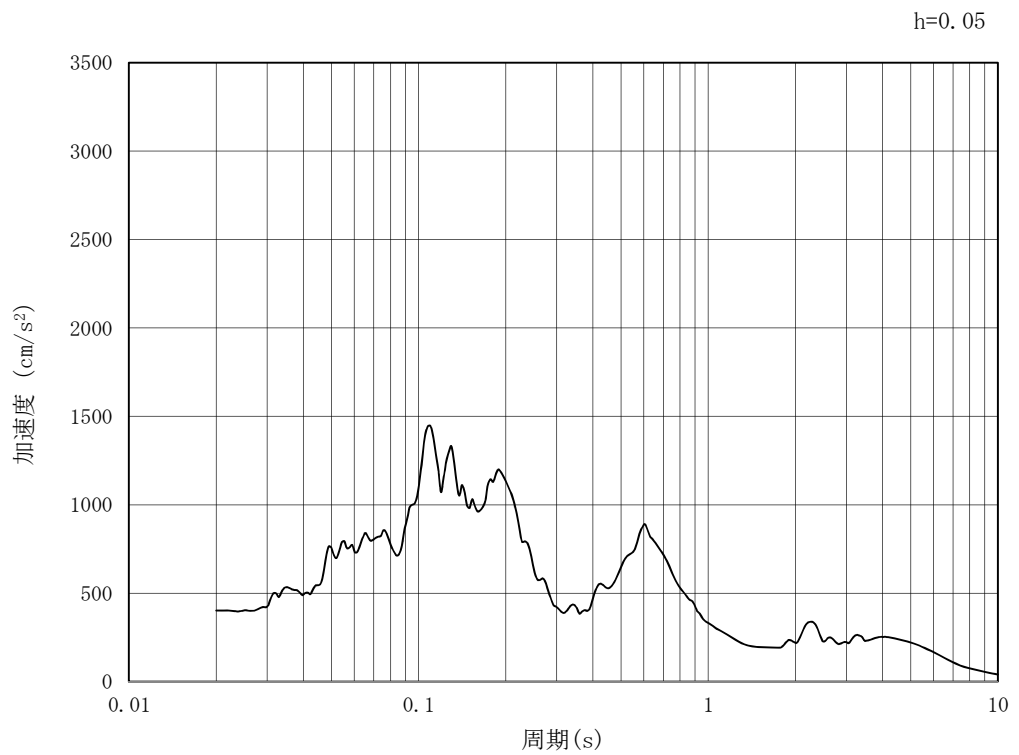


(b) 加速度応答スペクトル

第3-4図 (22) 東西方向断面の入力地震動の加速度時刻歴波形及び加速度応答スペクトル
(鉛直方向: $S_s - 1.2$)

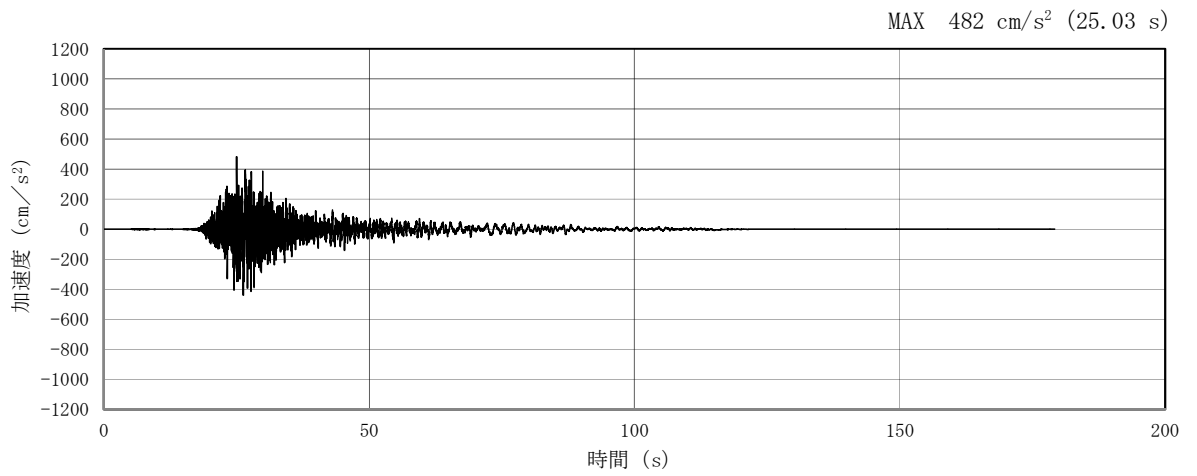


(a) 加速度時刻歴波形

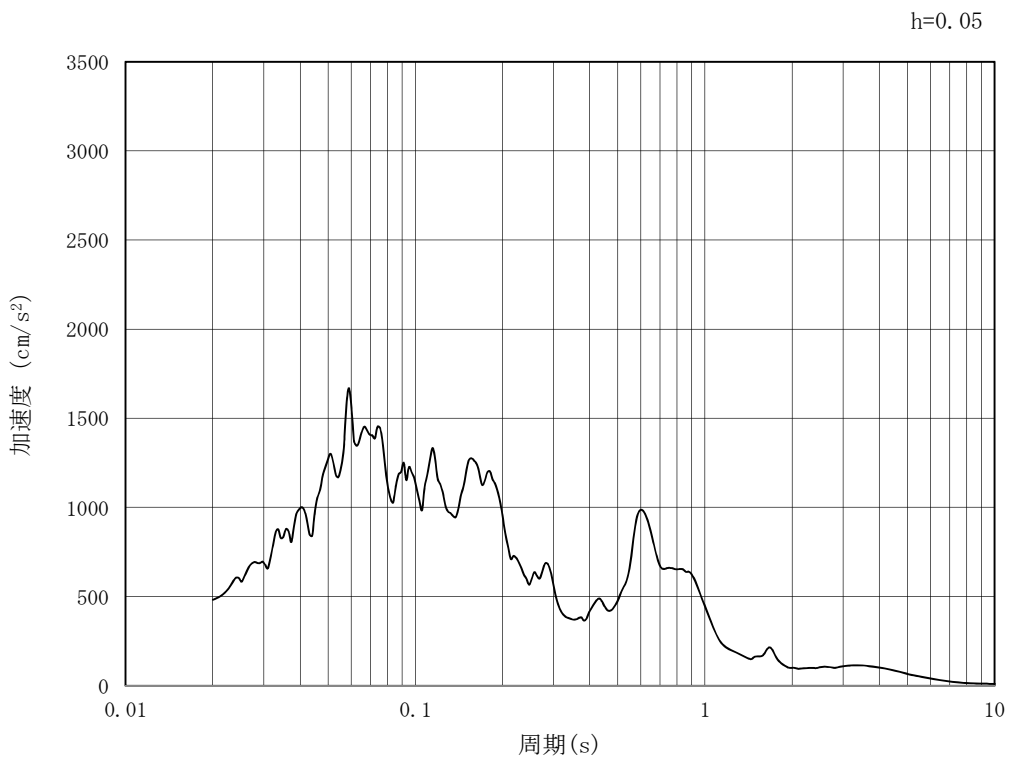


(b) 加速度応答スペクトル

第 3-4 図 (23) 東西方向断面の入力地震動の加速度時刻歴波形及び加速度応答スペクトル
(水平方向 : $S_s - 1.3$)

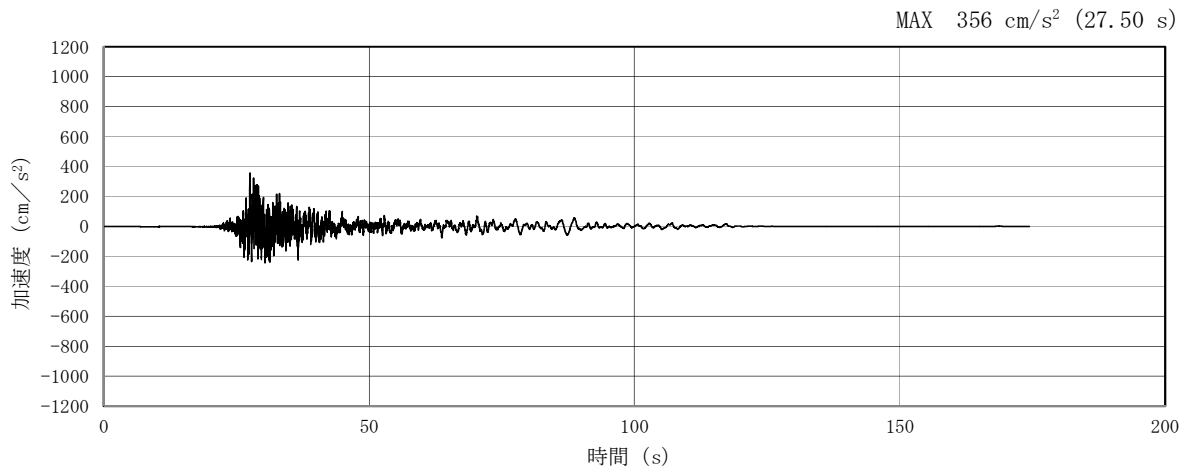


(a) 加速度時刻歴波形

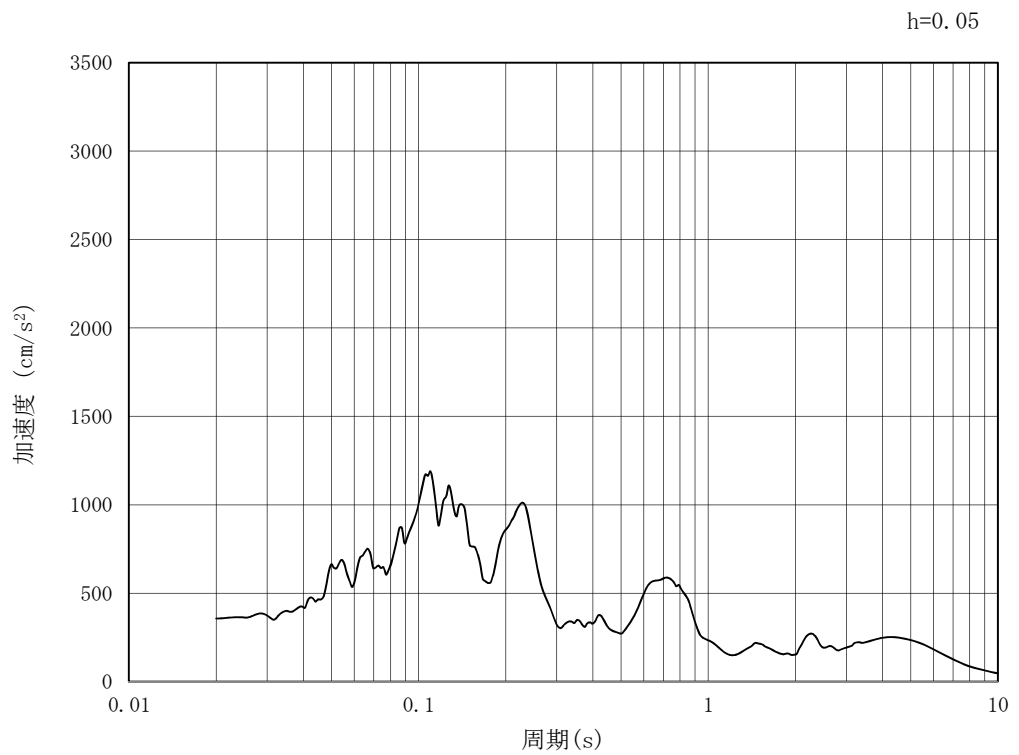


(b) 加速度応答スペクトル

第3-4図 (24) 東西方向断面の入力地震動の加速度時刻歴波形及び加速度応答スペクトル
(鉛直方向: $S_s - 13$)

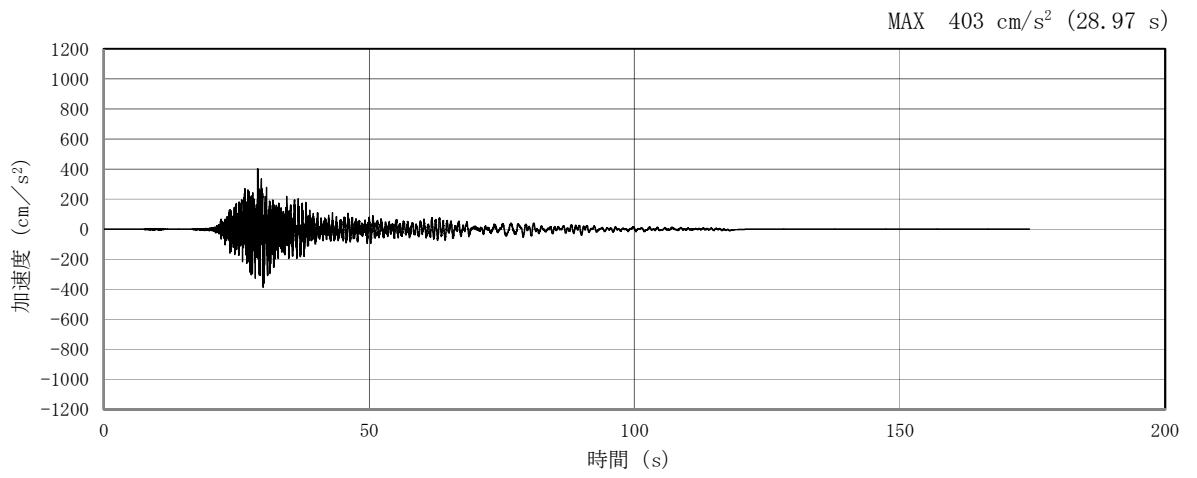


(a) 加速度時刻歴波形

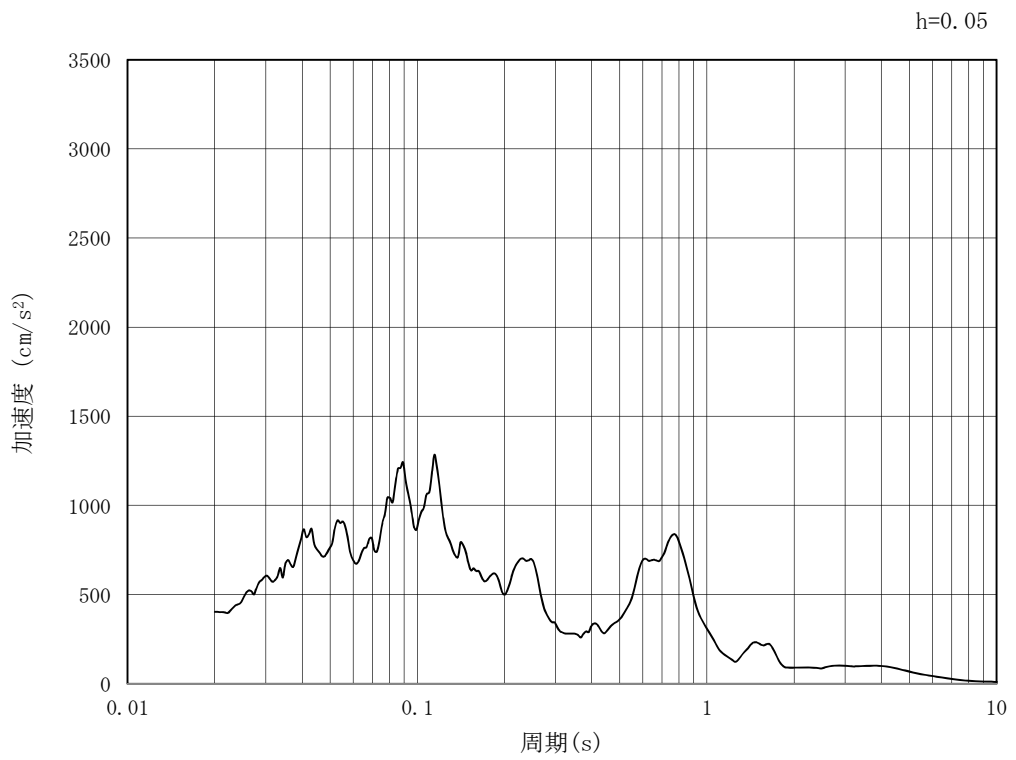


(b) 加速度応答スペクトル

第3-4図 (25) 東西方向断面の入力地震動の加速度時刻歴波形及び加速度応答スペクトル
(水平方向: $S_s - 1.4$)

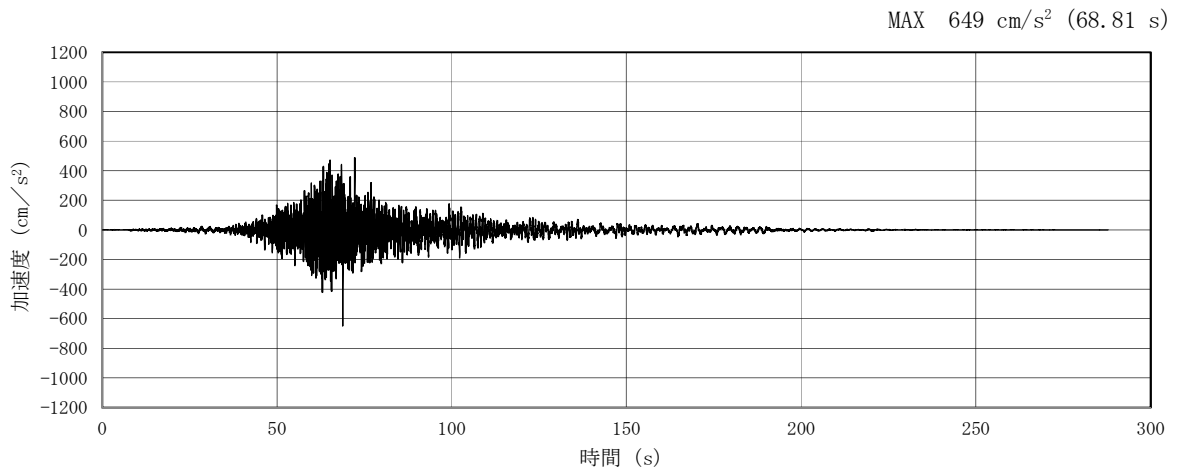


(a) 加速度時刻歴波形

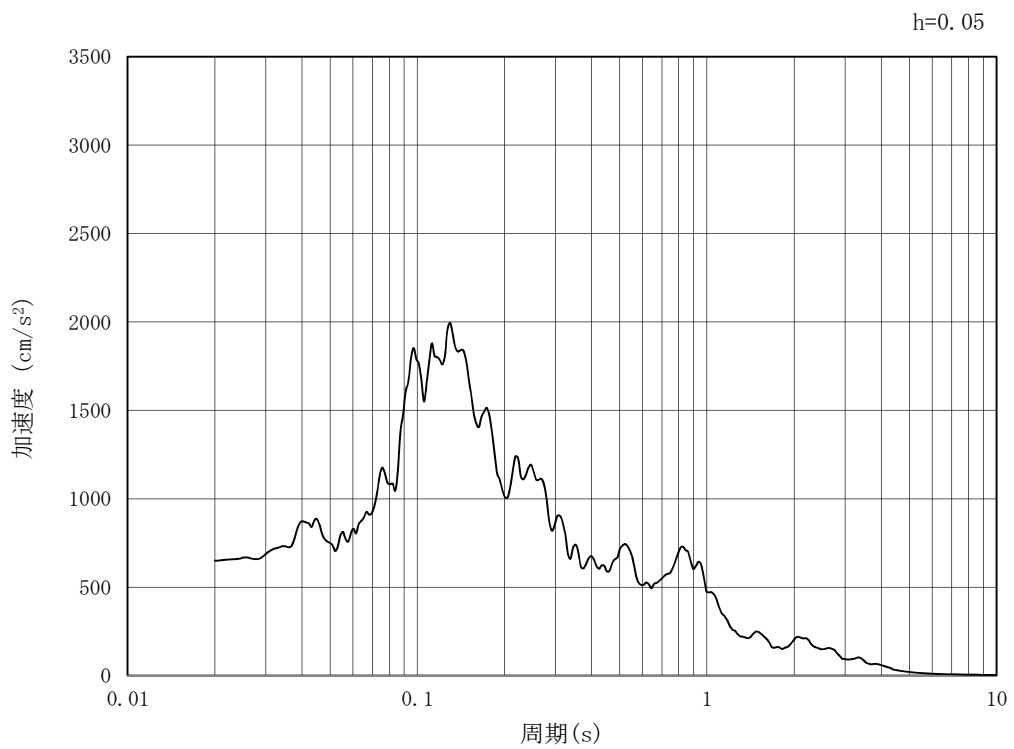


(b) 加速度応答スペクトル

第3-4図 (26) 東西方向断面の入力地震動の加速度時刻歴波形及び加速度応答スペクトル
(鉛直方向: $S_s - 1.4$)

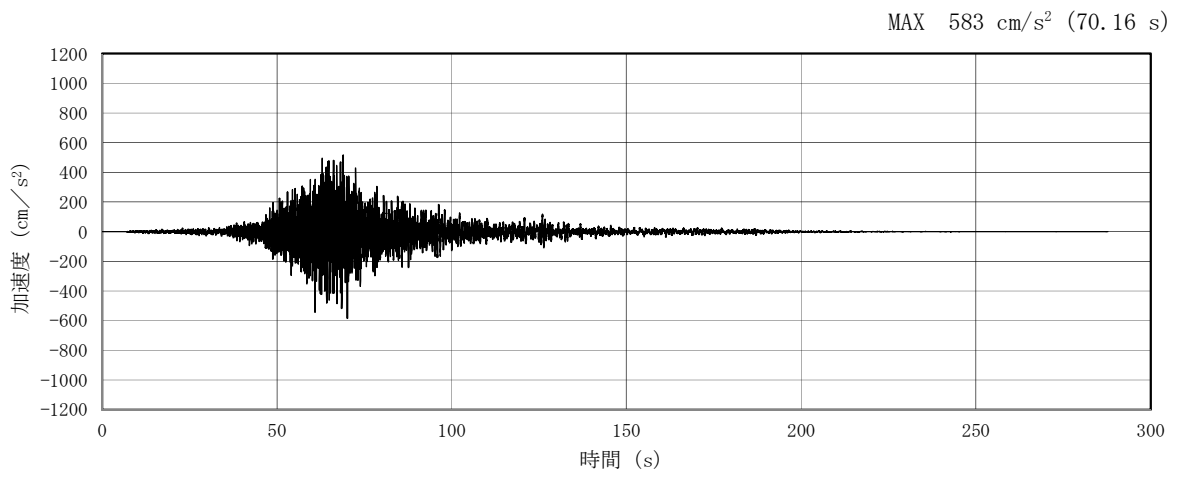


(a) 加速度時刻歴波形

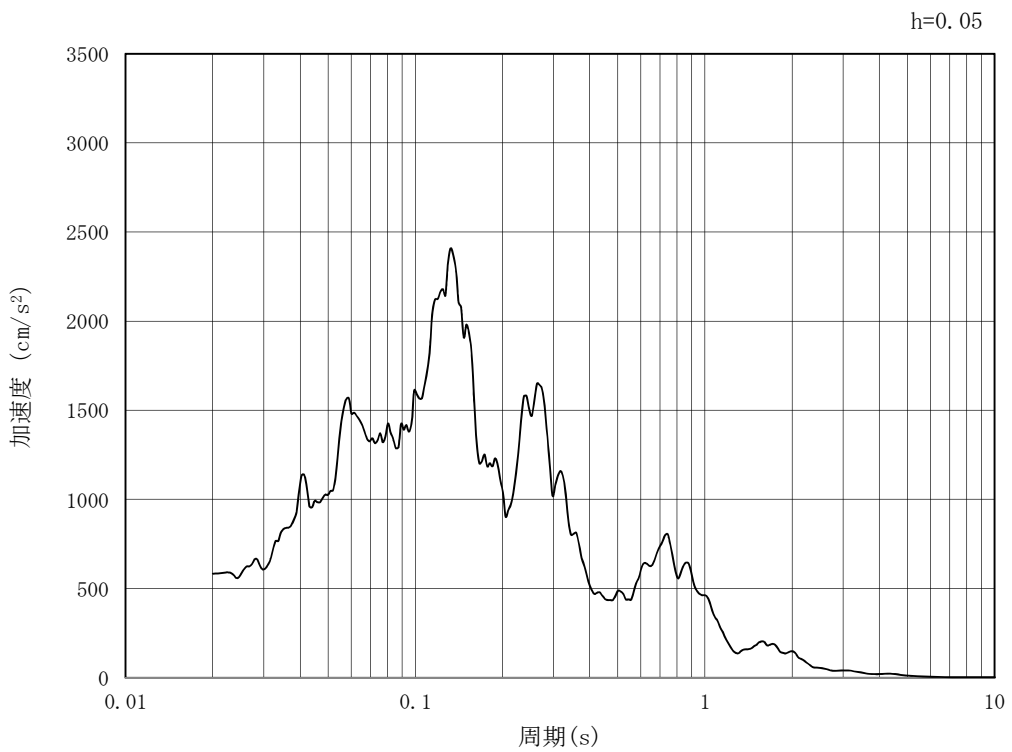


(b) 加速度応答スペクトル

第 3-4 図 (27) 東西方向断面の入力地震動の加速度時刻歴波形及び加速度応答スペクトル
(水平方向 : S_s - 2 1)

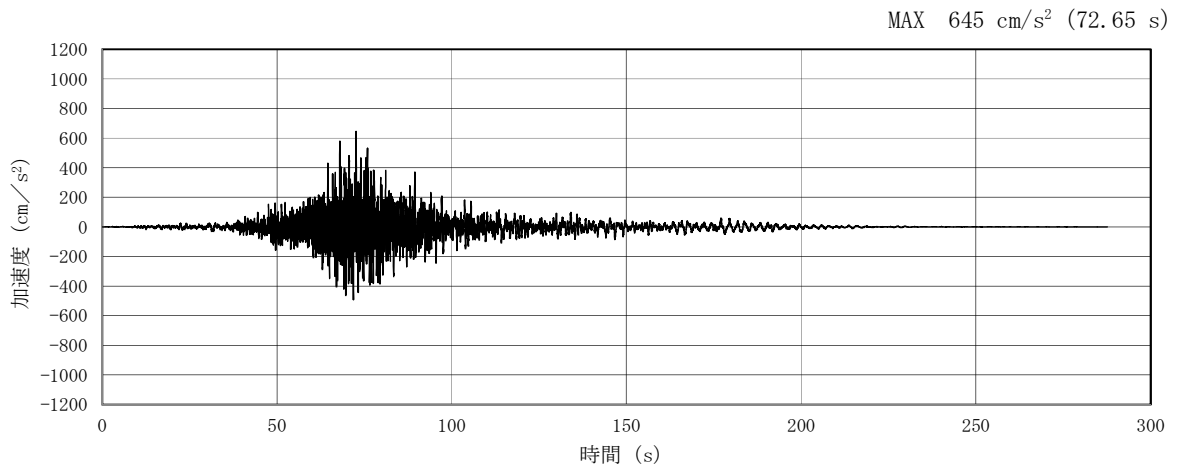


(a) 加速度時刻歴波形

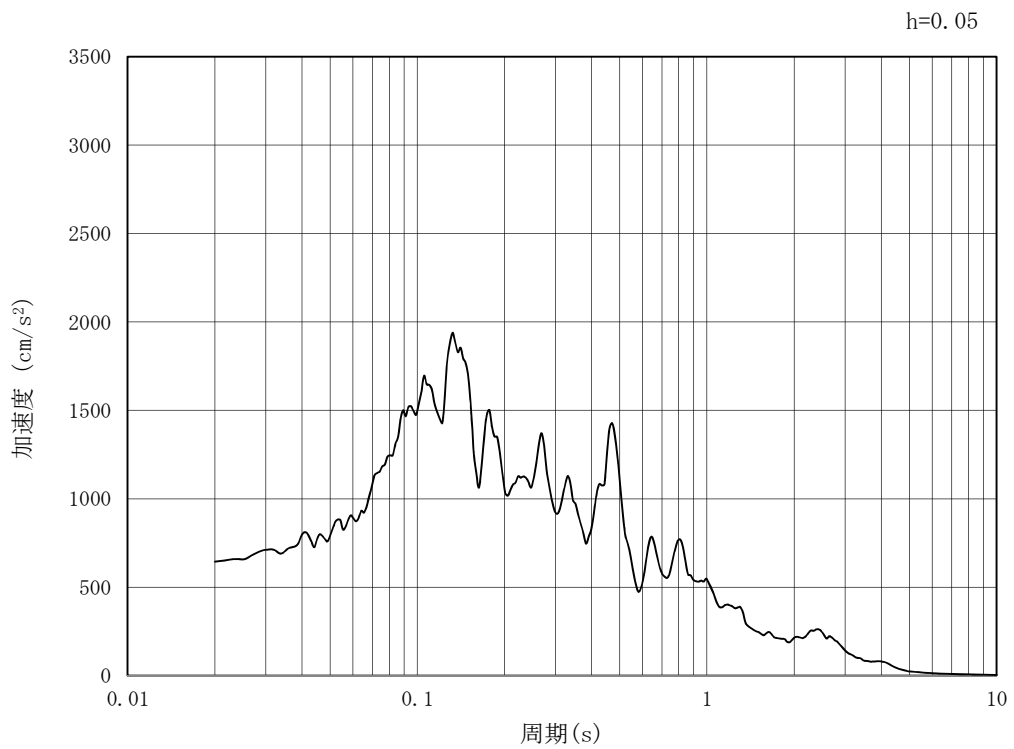


(b) 加速度応答スペクトル

第 3-4 図 (28) 東西方向断面の入力地震動の加速度時刻歴波形及び加速度応答スペクトル
(鉛直方向 : $S_s - 21$)

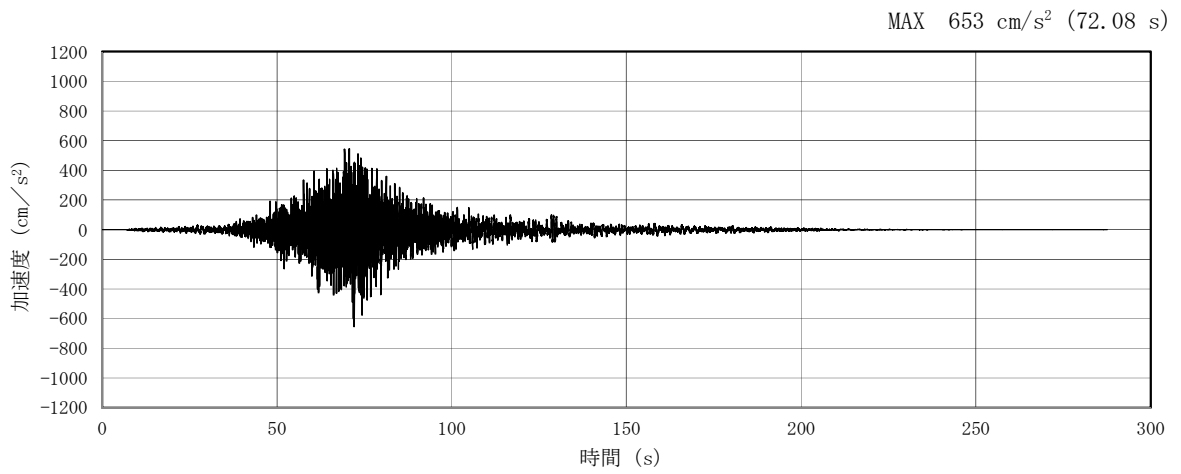


(a) 加速度時刻歴波形

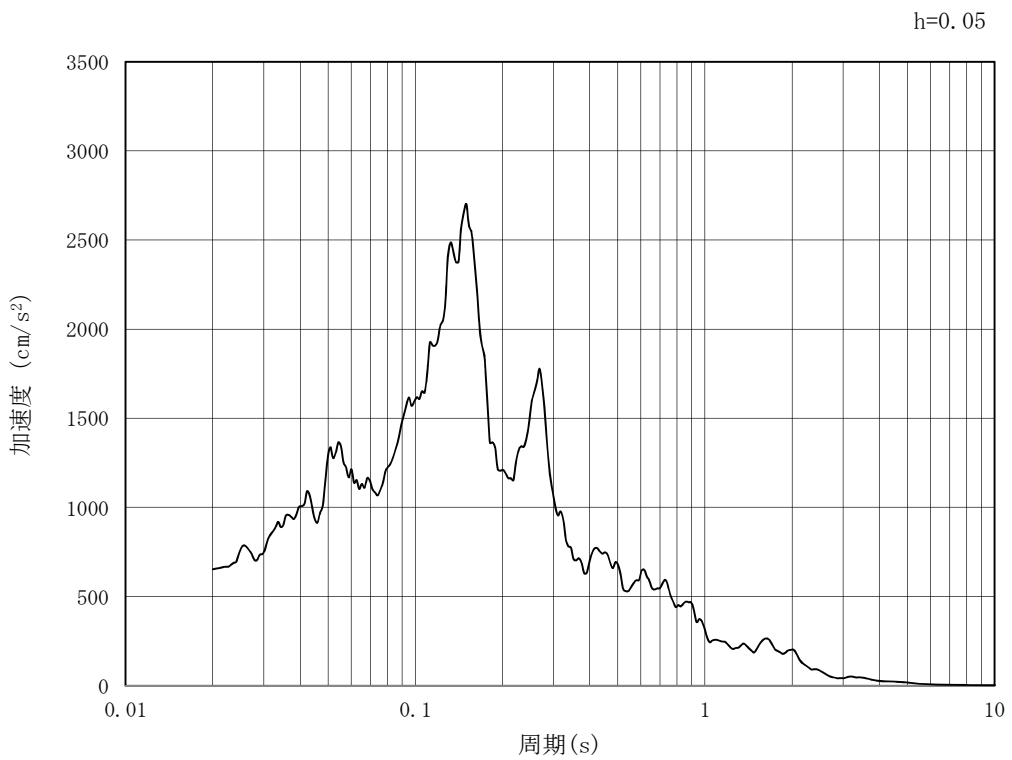


(b) 加速度応答スペクトル

第 3-4 図 (29) 東西方向断面の入力地震動の加速度時刻歴波形及び加速度応答スペクトル
(水平方向 : $S_s - 22$)

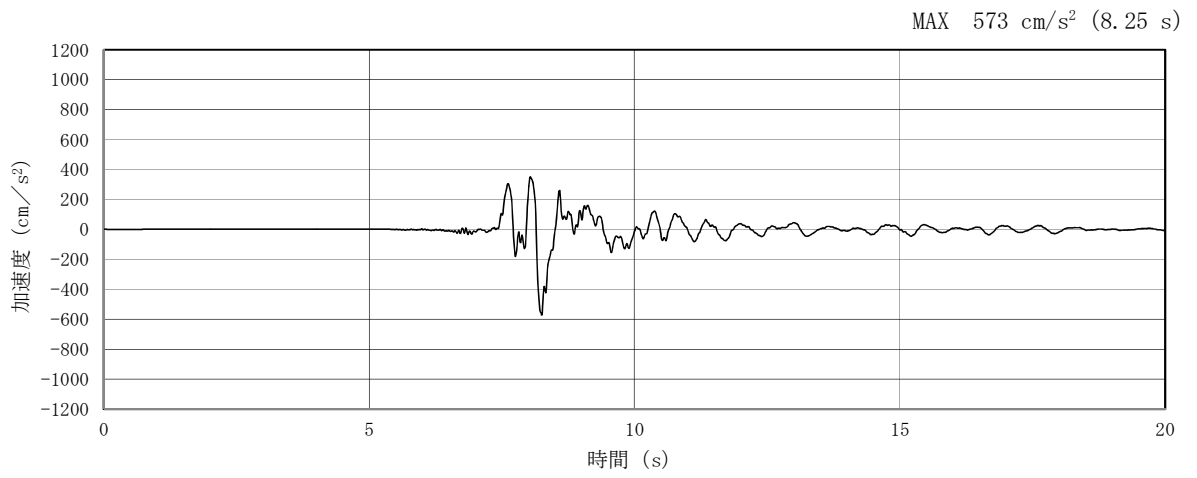


(a) 加速度時刻歴波形

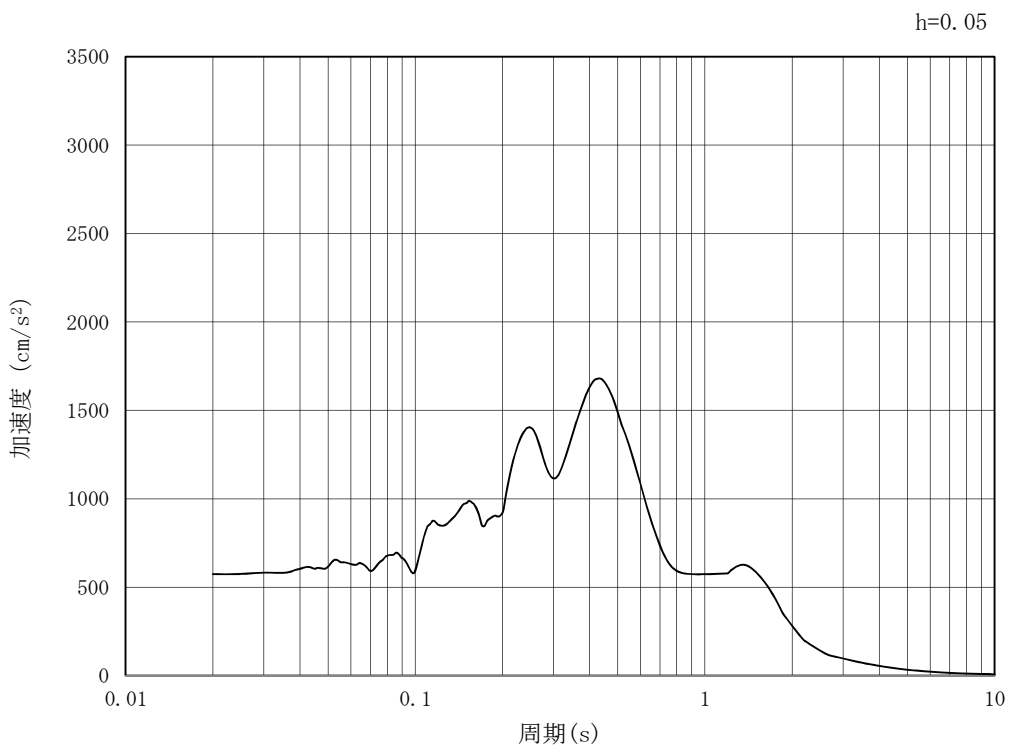


(b) 加速度応答スペクトル

第 3-4 図 (30) 東西方向断面の入力地震動の加速度時刻歴波形及び加速度応答スペクトル
(鉛直方向 : $S_s - 22$)

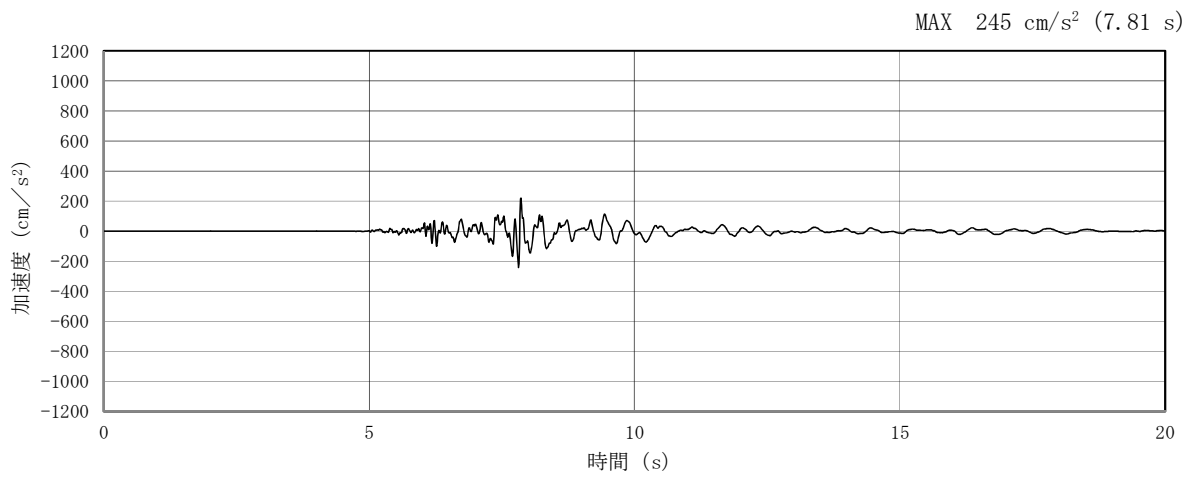


(a) 加速度時刻歴波形

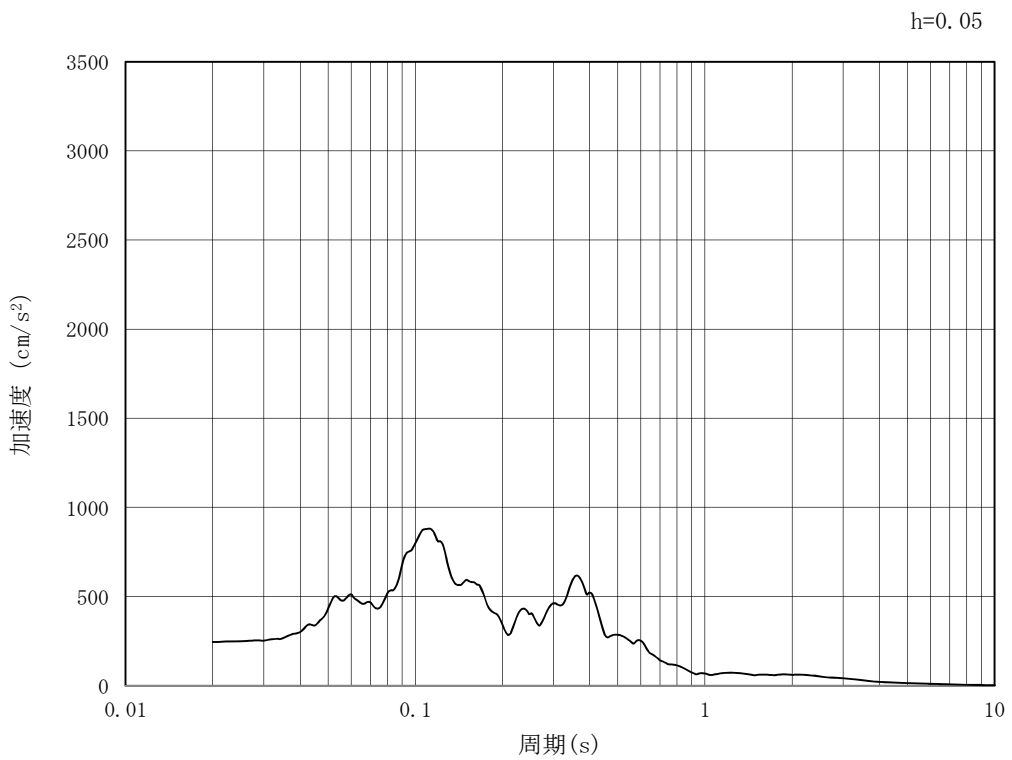


(b) 加速度応答スペクトル

第 3-4 図 (31) 東西方向断面の入力地震動の加速度時刻歴波形及び加速度応答スペクトル
(水平方向 : $S_s - 31$)



(a) 加速度時刻歴波形



(b) 加速度応答スペクトル

第3-4図 (32) 東西方向断面の入力地震動の加速度時刻歴波形及び加速度応答スペクトル
(鉛直方向: $S_s - 31$)

3.5 解析モデル及び諸元

3.5.1 解析モデル

立坑の地震応答解析モデルを第3-5図に示す。

(1) 解析領域

地震応答解析モデルは，境界条件の影響が地盤及び構造物の応力状態に影響を及ぼさないよう，十分広い領域とする。

(2) 境界条件

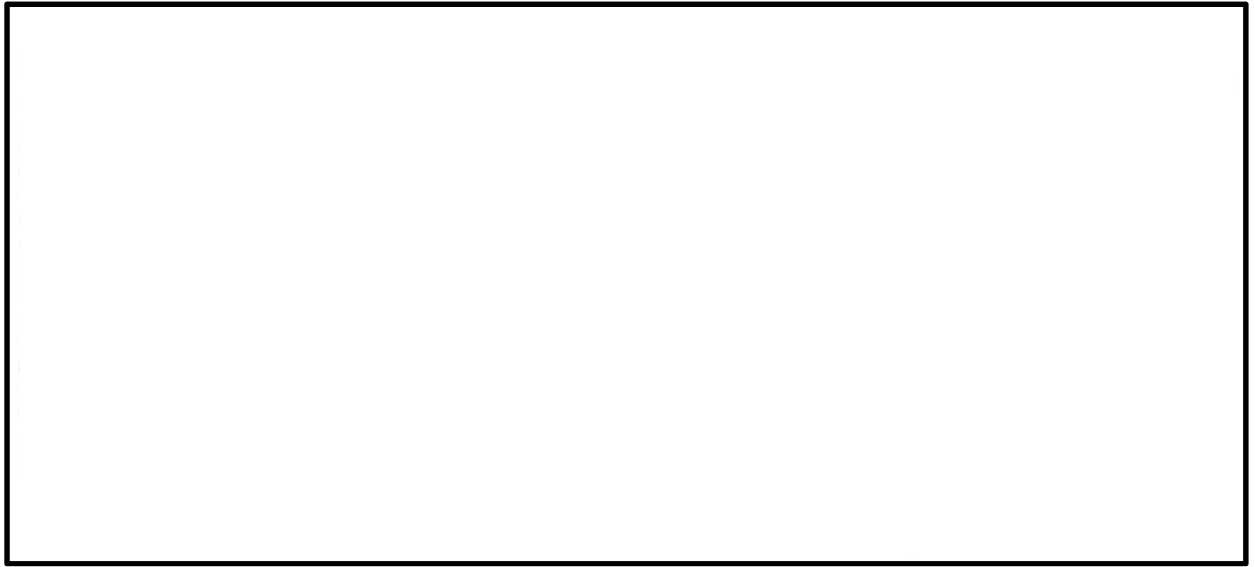
地震応答解析時の境界条件については，有限要素解析における半無限地盤を模擬するため，粘性境界を設ける。

(3) 構造物のモデル化

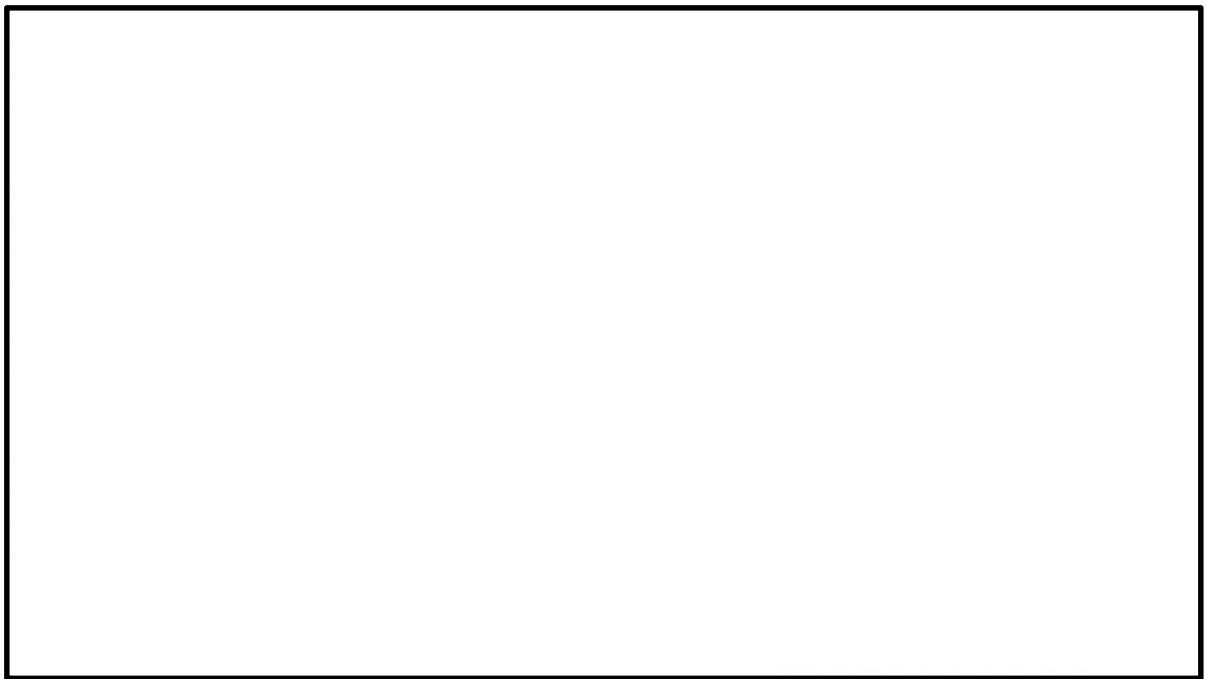
立坑は，立坑中心位置において各構造部材と等価な剛性を有する線形はり要素にてモデル化する。

(4) 地盤のモデル化

地盤は，マルチスプリング要素及び間隙水要素にてモデル化し，地震時の有効応力の変化に応じた非線形せん断応力～せん断ひずみ関係を考慮する。



第3-5図 (1) 立坑の地震応答解析モデル (南北方向)



第3-5図 (2) 立坑の地震応答解析モデル (東西方向)

3.5.2 使用材料及び材料の物性値

使用材料を第3-4表に、材料の物性値を第3-5表に示す。

第3-4表 使用材料

諸元	
コンクリート	設計基準強度 40 N/mm ²
鉄筋	SD345, SD490

第3-5表 材料の物性値

材料		単位体積重量 (kN/m ³)	ヤング係数 (N/mm ²)	ポアソン 比	減衰定数 (%)
鉄筋コン クリート	設計基準強度 40 N/mm ² *1	24.5*1	3.1×10 ⁴ *1	0.2*1	5*2

注記 *1：コンクリート標準示方書 [構造性能照査編] ((社) 土木学会, 2002 年制定)

*2：J E A G 4 6 0 1 -1987 ((社) 日本電気協会)

3.5.3 地盤の物性値

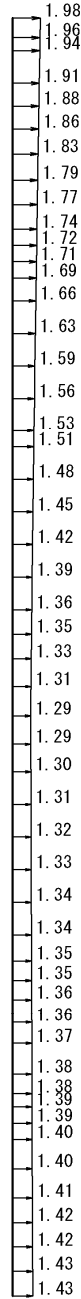
地盤の物性値は、添付資料「V-2-1-3 地盤の支持性能に係る基本方針」にて設定している物性値を用いる。

3.5.4 地下水位

地下水位は地表面として設定する。

005_To2_VS-NS_0G-L_Vseg_Ss-11_NS++
Maximum Horizontal Acceleration

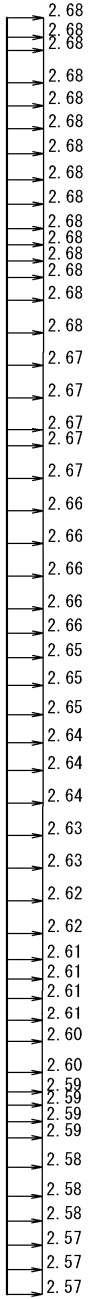
・構造スケール $0 \sim 1$ (m)
・応答値スケール $0 \sim 5$ (m/s²)



($S_s - 11$, 水平)

005_To2_VS-NS_0G-L_Vseg_Ss-11_NS++
Maximum Vertical Acceleration

・構造スケール $0 \sim 1$ (m)
・応答値スケール $0 \sim 5$ (m/s²)

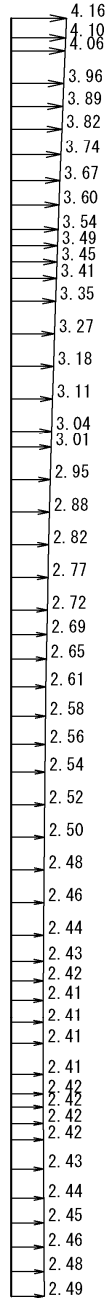


($S_s - 11$, 鉛直)

第 4-1 図 ①原地盤に基づく液状化強度特性を用いた解析ケース 最大加速度分布図 (2/13)

009_To2_VS-NS_0G-L_Vseg_Ss-21_NS++
Maximum Horizontal Acceleration

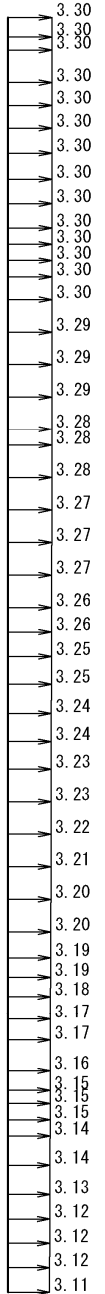
・構造スケール $\frac{0}{1}$ (m)
・応答値スケール $\frac{0}{5}$ (m/s²)



(S_s - 21, 水平)

009_To2_VS-NS_0G-L_Vseg_Ss-21_NS++
Maximum Vertical Acceleration

・構造スケール $\frac{0}{1}$ (m)
・応答値スケール $\frac{0}{5}$ (m/s²)

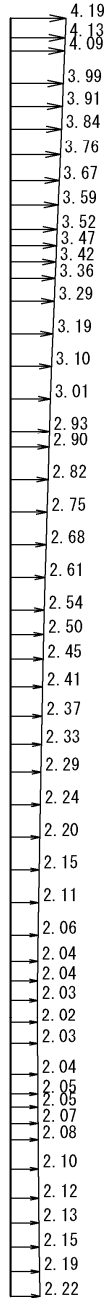


(S_s - 21, 鉛直)

第 4-1 図 ①原地盤に基づく液状化強度特性を用いた解析ケース 最大加速度分布図 (6/13)

010_To2_VS-NS_0G-L_Vseg_Ss-22_NS++
Maximum Horizontal Acceleration

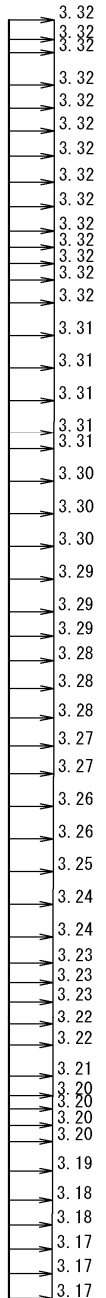
・構造スケール $\frac{0}{1}$ (m)
・応答値スケール $\frac{0}{5}$ (m/s²)



(S_s-22, 水平)

010_To2_VS-NS_0G-L_Vseg_Ss-22_NS++
Maximum Vertical Acceleration

・構造スケール $\frac{0}{1}$ (m)
・応答値スケール $\frac{0}{5}$ (m/s²)



(S_s-22, 鉛直)

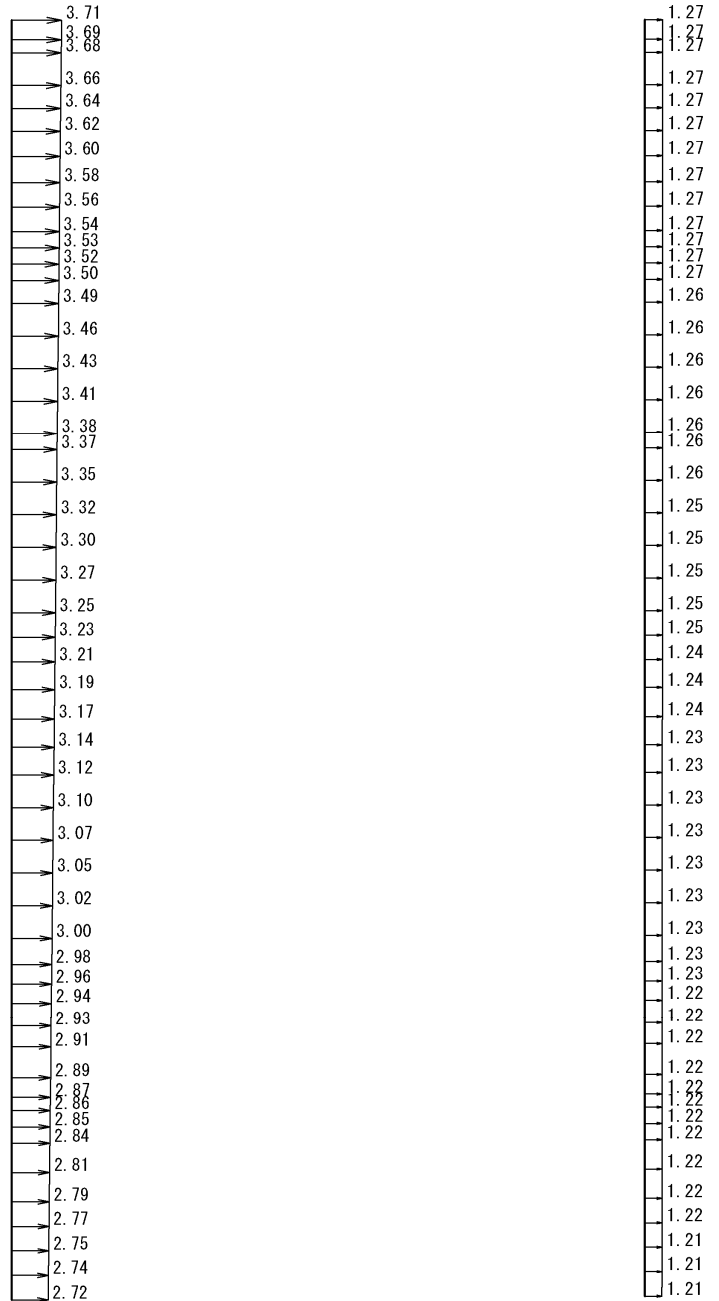
第4-1図 ①原地盤に基づく液状化強度特性を用いた解析ケース 最大加速度分布図 (7/13)

012_To2_VS-NS_0G-L_Vseg_Ss-31-+
Maximum Horizontal Acceleration

・構造スケール $\frac{0}{1}$ (m)
・応答値スケール $\frac{0}{5}$ (m/s²)

012_To2_VS-NS_0G-L_Vseg_Ss-31-+
Maximum Vertical Acceleration

・構造スケール $\frac{0}{1}$ (m)
・応答値スケール $\frac{0}{5}$ (m/s²)



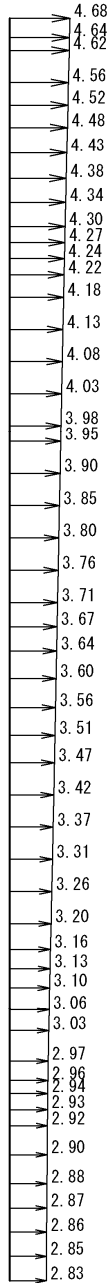
(S_s - 31, 水平)

(S_s - 31, 鉛直)

第4-1図 ①原地盤に基づく液状化強度特性を用いた解析ケース 最大加速度分布図 (8/13)

013_To2_VS-NS_0G-L_+1Sig_Vseg_Ss-D1++
Maximum Horizontal Acceleration

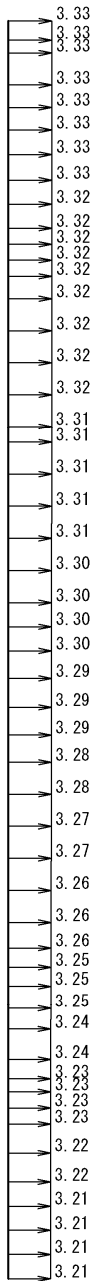
・構造スケール 0 1 (m)
・応答値スケール 0 5 (m/s²)



(S_s-D1, 水平)

013_To2_VS-NS_0G-L_+1Sig_Vseg_Ss-D1++
Maximum Vertical Acceleration

・構造スケール 0 1 (m)
・応答値スケール 0 5 (m/s²)

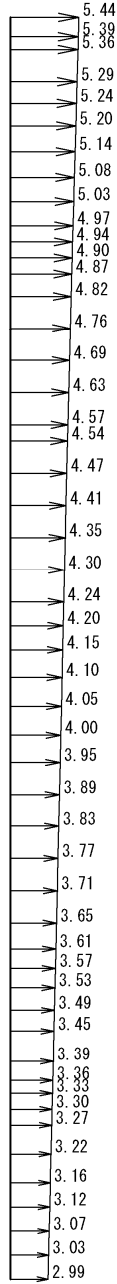


(S_s-D1, 鉛直)

第4-1図 ②地盤物性のばらつきを考慮 (+1σ) した解析ケース 最大加速度分布図 (9/13)

037_To2_VS-NS_TS-L_Vseg_Ss-D1++
Maximum Horizontal Acceleration

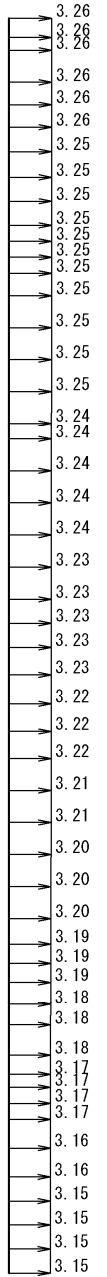
・構造スケール 0 1 (m)
・応答値スケール 0 5 (m/s²)



(S_s-D1, 水平)

037_To2_VS-NS_TS-L_Vseg_Ss-D1++
Maximum Vertical Acceleration

・構造スケール 0 1 (m)
・応答値スケール 0 5 (m/s²)



(S_s-D1, 鉛直)

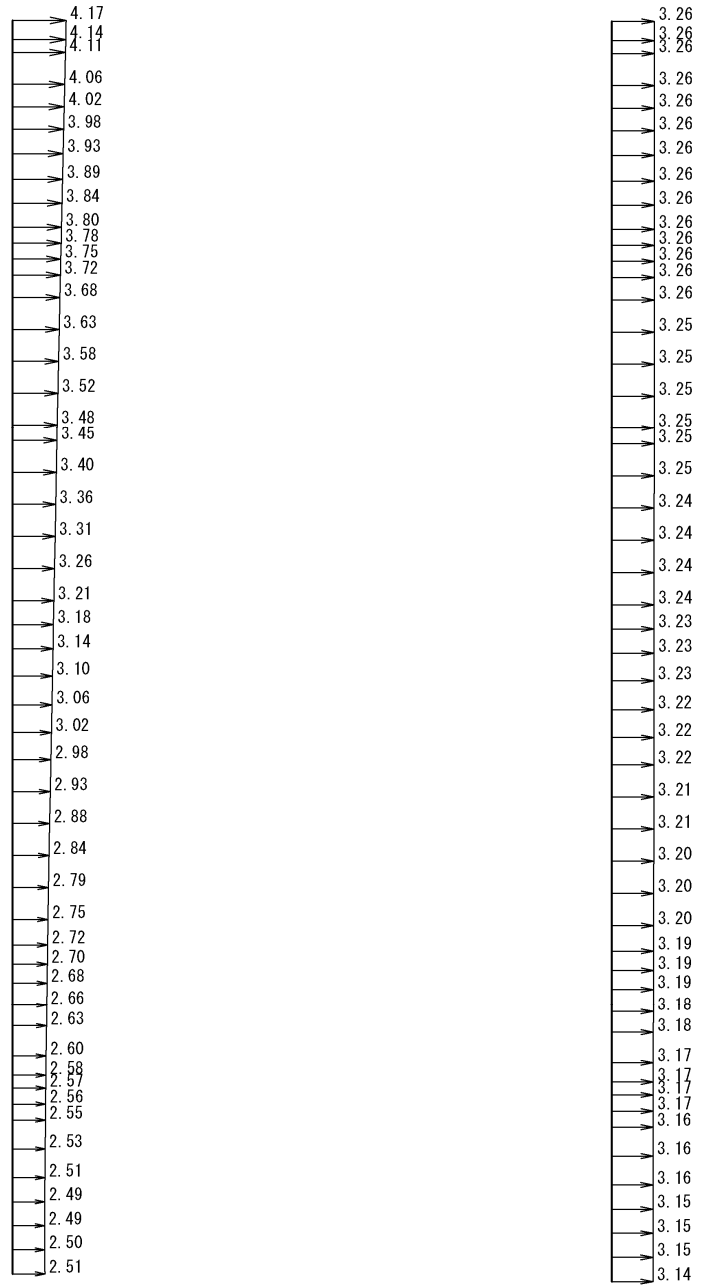
第4-1図 ④敷地に存在しない豊浦標準砂の液状化強度特性により地盤を強制的に液状化させることを仮定した解析ケース 最大加速度分布図 (11/13)

061_To2_VS-NS_OG-Non-L_+1Sig_Vseg_Ss-D1++
Maximum Horizontal Acceleration

・構造スケール $0 \sim 1$ (m)
・応答値スケール $0 \sim 5$ (m/s²)

061_To2_VS-NS_OG-Non-L_+1Sig_Vseg_Ss-D1++
Maximum Vertical Acceleration

・構造スケール $0 \sim 1$ (m)
・応答値スケール $0 \sim 5$ (m/s²)



(S_s-D1, 水平)

(S_s-D1, 鉛直)

第4-1図 ⑥地盤物性のばらつきを考慮(+1σ)して
非液状化の条件を仮定した解析ケース 最大加速度分布図 (13/13)

4.2 東西方向断面の解析結果

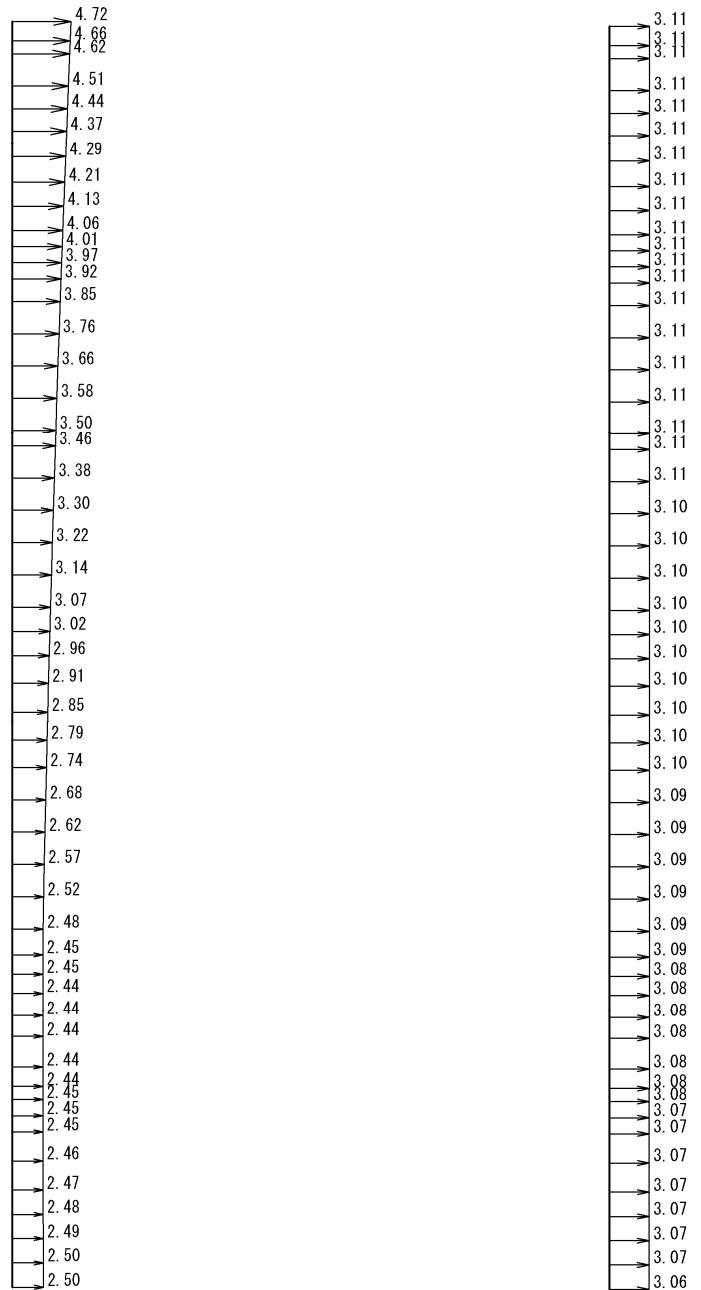
東西方向断面の最大加速度分布を第4-2図に示す。

004_To2_VS-EW_0G-L_Vseg_Ss-D1--
Maximum Horizontal Acceleration

・構造スケール 0 1 (m)
・応答値スケール 0 5 (m/s²)

004_To2_VS-EW_0G-L_Vseg_Ss-D1--
Maximum Vertical Acceleration

・構造スケール 0 1 (m)
・応答値スケール 0 5 (m/s²)



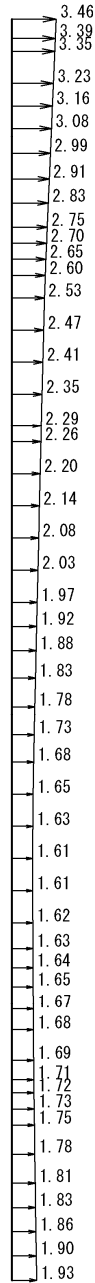
(S_s-D1, 水平)

(S_s-D1, 鉛直)

第4-2図 ①原地盤に基づく液状化強度特性を用いた解析ケース 最大加速度分布図 (1/13)

010_To2_VS-EW_OG-L_Vseg_Ss-22_EW++
Maximum Horizontal Acceleration

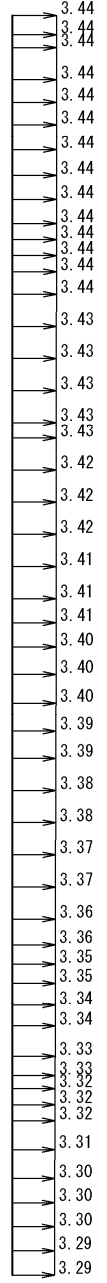
・構造スケール $0 \sim 1$ (m)
・応答値スケール $0 \sim 5$ (m/s²)



($S_s - 22$, 水平)

010_To2_VS-EW_OG-L_Vseg_Ss-22_EW++
Maximum Vertical Acceleration

・構造スケール $0 \sim 1$ (m)
・応答値スケール $0 \sim 5$ (m/s²)

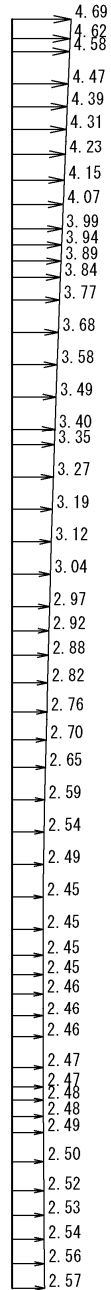


($S_s - 22$, 鉛直)

第 4-2 図 ①原地盤に基づく液状化強度特性を用いた解析ケース 最大加速度分布図 (7/13)

015_To2_VS-EW_0G-L_+1Sig_Vseg_Ss-D1-+
Maximum Horizontal Acceleration

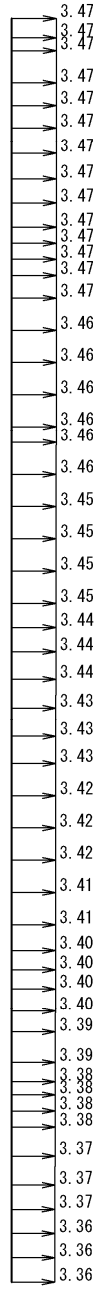
・構造スケール 0 1 (m)
・応答値スケール 0 5 (m/s²)



(S_s-D1, 水平)

015_To2_VS-EW_0G-L_+1Sig_Vseg_Ss-D1-+
Maximum Vertical Acceleration

・構造スケール 0 1 (m)
・応答値スケール 0 5 (m/s²)

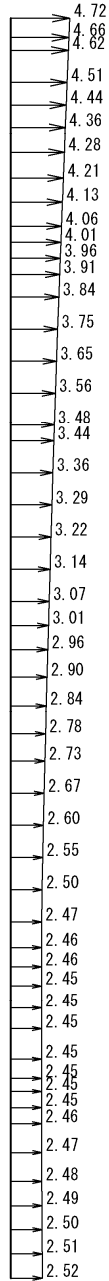


(S_s-D1, 鉛直)

第4-2図 ②地盤物性のばらつきを考慮 (+1σ) した解析ケース 最大加速度分布図 (9/13)

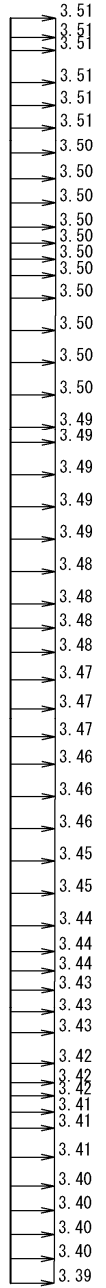
027_To2_VS-EW_0G-L_-1Sig_Vseg_Ss-D1-+
Maximum Horizontal Acceleration

・構造スケール $\frac{0}{1}$ (m)
・応答値スケール $\frac{0}{5}$ (m/s²)



027_To2_VS-EW_0G-L_-1Sig_Vseg_Ss-D1-+
Maximum Vertical Acceleration

・構造スケール $\frac{0}{1}$ (m)
・応答値スケール $\frac{0}{5}$ (m/s²)



($S_s - D1$, 水平)

($S_s - D1$, 鉛直)

第4-2図 ③地盤物性のばらつきを考慮 (-1σ) した解析ケース 最大加速度分布図 (10/13)

